

Федеральное государственное бюджетное образовательное  
учреждение высшего образования  
«Национальный исследовательский университет «МЭИ»

Институт: ИРЭ Кафедра: Основ радиотехники

Направление подготовки: 11.04.01 Радиотехника

**ОТЧЕТ по практике**

Наименование практики: Производственная практика: преддипломная практика

**СТУДЕНТ**

/ Бутин А.А. /  
(подпись) (Фамилия и инициалы)

Группа ЭР-11м-21  
(номер учебной группы)

**ПРОМЕЖУТОЧНАЯ АТТЕСТАЦИЯ ПО  
ПРАКТИКЕ**

(отлично, хорошо, удовлетворительно, неудовлетворительно)

/ Стрелков Н.О. /  
(подпись) (Фамилия и инициалы члена комиссии)

/ Копылова Е.В. /  
(подпись) (Фамилия и инициалы члена комиссии)

1. Подготовлена программа для защиты магистерской диссертации.
2. Изучены требования к структуре и стилю изложения выпускной квалификационной работы.
3. Подготовлена презентация к защите магистерской диссертации.
4. Выпускная квалификационная работа выполнена в полном объеме в соответствии с Заданием на выпускную квалификационную работу.
5. Расчетно-пояснительная записка выпускной квалификационной работы оформлена в соответствии с требованиями.
6. Получен отзыв руководителя выпускной квалификационной работы о работе обучающегося.

/      Бутин А.А.      /  
\_\_\_\_\_  
(подпись)                      (Фамилия и инициалы)

/ Стрелков Н.О. /

---

(подпись) (Фамилия и инициалы)

## ОГЛАВЛЕНИЕ

ВВЕДЕНИЕ.....	4
1. Аппаратная часть .....	6
1.1. WeMos D1 R1 .....	6
1.2. Arduino UNO .....	9
1.3. XBee-модуль.....	12
1.4. Микросхема CC2530.....	14
1.5. Raspberry Pi 4.....	17
2. Периферийные устройства .....	19
2.1. Датчики.....	19
2.1.1. Датчики температуры и влажности .....	20
2.1.2. Датчик задымления .....	27
2.1.3. Датчик движения .....	32
2.1.4. Датчик влажности почвы.....	35
2.2. Актуаторы.....	37
2.2.1. Реле-модули .....	37
3. Организация обмена данными.....	39
3.1. ESP-MESH .....	39
3.2. Протокол LoRaWAN .....	43
3.3. ESP-NOW .....	46
3.4. Протокол ZigBee .....	50
4. Моделирование системы с использованием протокола ESP-NOW .....	53
4.1. Схема подключения устройств и размещения на участке .....	53
4.2. Обмен данными в системе .....	56
5. Моделирование системы с использованием протокола ZigBee .....	59
5.1. Аппаратная часть системы.....	59
5.2. Серверная часть системы.....	60
5.3. Обмен данными в системе .....	63
6. Прототипирование системы «Умная дача» .....	64
6.1. Прототипирование устройств.....	65
6.2. Прототипирование сервера.....	77
7. Экономический расчет составляющих прототипа системы.....	84
Заключение .....	85
Список использованных источников .....	87
ПРИЛОЖЕНИЕ А .....	89
ПРИЛОЖЕНИЕ Б.....	93
ПРИЛОЖЕНИЕ В .....	96

## ВВЕДЕНИЕ

Интернет вещей (англ. Internet of Things, IoT) – это глобальная сеть компьютеров, датчиков (сенсоров) и исполнительных устройств (актуаторов), связывающихся между собой с использованием интернет протокола IP (Internet Protocol) [1].

На сегодняшний день понятие Интернета вещей находится у всех на слуху. И это не удивительно, ведь самое распространенное применение Интернета вещей находят в системах «умный дом». Во многих домах и квартирах установлены полноценные системы умного дома.

Умные системы можно разделить на четыре группы по набору функций:

- мониторинг;
- управление;
- оптимизация;
- автономность.

Каждая функция, важная и сама по себе, оказывается своего рода ступенькой для следующего уровня. Так, функция мониторинга служит основой для управления, оптимизации и автономности техники [2].

В основе всех умных систем заложены функции мониторинга и управления, поэтому в данной работе будут рассмотрены принципы и реализации этих функций.

В последние года тенденция распространения умных домов стала еще больше, так как на рынке появились бюджетные решения систем в виде «умных колонок», например, Алиса или Алекса, к которым довольно просто можно присоединить «умные» модули дома (смарт лампы, датчики движения, «умные» замки и т.д.).

Одной из распространенных проблем в системах Интернета вещей является коммутация отдельных блоков системы. В приведенных выше системах коммутация отдельных блоков осуществляется посредством нахождения всех модулей системы в одной локальной Wi-Fi сети. В данной работе будут рассмотрены способы коммутации систем с открытой архитектурой в единой системе «умной» дачи.

Также в работе будут рассмотрены периферийные модули для модели системы «умная дача» и организация передачи данных между ними и приложением на смартфоне.

В роли центрального процессора, обрабатывающего данные датчиков и управляющего исполнительными устройствами, будет выступать Arduino-совместимая плата WeMos D1 R1. Модель системы подобрана таким образом, что между двумя блоками системы нет возможности передачи данных по проводам. Поэтому в работе будут рассмотрены иные способы организации передачи данных в системе.

## **1. Аппаратная часть**

### **1.1. WeMos D1 R1**

Любая система умного дома должна собирать, обрабатывать и передавать данные в сеть. Эти функции в «умных» системах выполняет центральный контроллер. В рассматриваемой в данной работе модели в качестве центрального контроллера будем использовать WeMos D1 R1 (Рисунок 1.1). Выбор платы объясняется удобной работой с Wi-Fi сетями, которые в дальнейшем будут рассматриваться для передачи данных между датчиками и сетью.

WeMos – это китайская компания, которая производит Arduino-совместимые микроконтроллеры с широким спектром возможностей. Главным достоинством плат WeMos является расширение функционала для Arduino-совместимых устройств, а также их ценовая доступность. Блочная схема микроконтроллера WeMos дает возможность превратить каждый кристалл на плате устройства с записанной программой в полноценный функциональный модуль с низкой производственной себестоимостью. Интеграция таких модулей позволяет создавать на плате универсальное контрольное устройство с любой требуемой схемой управления. Функциональная гибкость микроконтроллеров WeMos заключается в возможности в любой момент внести ряд изменений в программный алгоритм без изменений в архитектуре микросхемы на плате. Под новую задачу достаточно будет загрузки новой прошивки.

Все данные для описания платы были взяты из официальной документации [2].

Основу данной платы составляет ESP8266 – микроконтроллер с интерфейсом Wi-Fi, имеющий следующие технические параметры: поддерживает Wi-Fi протоколы 802.11 b/g/n с WEP, WPA, WPA2; обладает 14 портами ввода и вывода, SPI, I2C, UART, 10-бит АЦП; поддерживает внешнюю память до 16 МБ; необходимое питание от 2,2 до 3,6 В,

потребляемый ток до 300 мА в зависимости от выбранного режима [2]. Важной особенностью является отсутствие пользовательской энергонезависимой памяти на кристалле. Программа выполняется от внешней SPI ПЗУ при помощи динамической загрузки необходимых элементов программы. Доступ к внутренней периферии можно получить не из документации, а из API набора библиотек. Производителем указывается приблизительное количество ОЗУ – 50 кБ. На модуле имеется Wi-Fi антенна для покрытия Wi-Fi сетью.

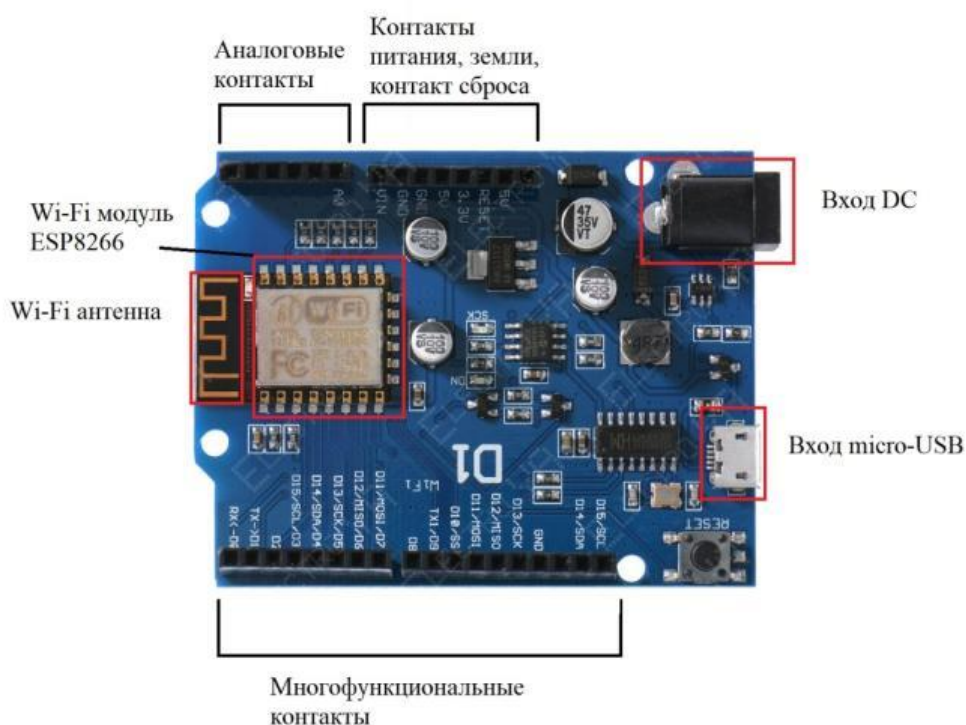


Рисунок 1.1 – плата WeMos D1 R1

Так как плата Arduino-совместимая, то нумерация контактов платы схожа с нумерацией Arduino Uno, но все же имеет ряд отличий. Самое главное отличие: увеличенное количество интерфейсов передачи данных на плате. На WeMos D1 R1 присутствует 2 группы контактов под интерфейс I2C и 2 еще 2 группы под интерфейс SPI (см. таблицу 1). Каждый цифровой контакт платы является портом общего назначения и служит для низкоуровневого обмена цифровыми сигналами с внешними устройствами (контакт GPIO – general-purpose I/O port). Так же на WeMos D1 R1 присутствует только один аналоговый контакт.

Таблица 1 – Описание контактов

Контакт WeMos D1 R1	Контакт на плате	Специальное назначение
Цифровой контакт 0	D0/GPIO3	RX
Цифровой контакт 1	D1/GPIO1	TX
Цифровой контакт 2	D2/GPIO16	
Цифровой контакт 3	D3/GPIO5	I2C(SCL)
Цифровой контакт 4	D4/GPIO4	I2C(SDA)
Цифровой контакт 5	D5/GPIO14	SPI (SCK)
Цифровой контакт 6	D6/GPIO12	SPI (MISO)
Цифровой контакт 7	D7/GPIO13	SPI (MOSI)
Цифровой контакт 8	D8/GPIO0	
Цифровой контакт 9	D9/GPIO2	
Цифровой контакт 10	D10/GPIO15	SPI (SS)/ TX
Цифровой контакт 11	D11/GPIO13	SPI (MOSI)/RX
Цифровой контакт 12	D12/GPIO12	SPI (MISO)
Цифровой контакт 13	D13/GPIO14	SPI (SCK)
Цифровой контакт 14	D14/GPIO4	I2C(SDA)
Цифровой контакт 15	D15/GPIO5	I2C(SCL)
Аналоговый контакт A0	A0	

Так же, как и на Arduino Uno на плате расположены контакты питания. На контакт питания 5V плата подает напряжение 5 вольт для питания внешних устройств. Соответственно на контакт 3.3V плата подает 3.3 вольта за счет встроенного стабилизатора напряжения. Три контакта GND соединены между собой и используются для подключения устройств к земле. VIN – контакт для подачи внешнего напряжения.



## 1.2. Arduino UNO

Для обработки данных с датчиков в данной работе будет использована плата Arduino Uno на базе 8-ми разрядного микроконтроллера AVR ATmega328 (см. рисунок 1.2). Преимуществом данного микроконтроллера является его дешевизна и доступность. Так же к достоинствам можно отнести низкое энергопотребление, что позволяет плате работать на автономном питании. Дальнейшее описание платы и ее характеристики взяты из официальной документации к плате [3].



Рисунок 1.2 – Плата Arduino Uno

Таблица 2 – Технические характеристики Arduino Uno

Микроконтроллер	ATmega328
Рабочее напряжение	5В
Напряжение питания (рекомендуемое)	7-12В
Напряжение питания (предельное)	6-20В
Цифровые входы/выходы	14 (из них 6 могут использоваться в качестве ШИМ- выходов)
Аналоговые входы	6
Максимальный ток одного вывода	40 мА
Максимальный выходной ток вывода 3.3V	50 мА
Flash-память	32 КБ (ATmega328) из которых 0.5 КБ используются загрузчиком
SRAM	2 КБ (ATmega328)
EEPROM	1 КБ (ATmega328)
Тактовая частота	16 МГц

## Описание контактов:

На плате имеются 14 цифровых входов-выходов (0-13) и 6 аналоговых (A0-A5), которые используются для подключения периферийных устройств. К каждому контакту программно может быть подключен встроенный подтягивающий резистор на 20-50 кОм. Так же для удобства некоторые контакты объединяют в себе несколько функций (например, контакты A4 и

A5, которые являются аналоговыми контактами, так же используются как контакты SDA и SCL шины I2C, см. таблицу 3).

Таблица 3 – Описание контактов

Контакт Arduino	Контакт на плате	Специальное назначение
Цифровой контакт 0	0	RX
Цифровой контакт 1	1	TX
Цифровой контакт 2	2	Вход для прерываний
Цифровой контакт 3	3	Вход для прерываний
Цифровой контакт 4	4	
Цифровой контакт 5	5	
Цифровой контакт 6	6	
Цифровой контакт 7	7	
Цифровой контакт 8	8	
Цифровой контакт 9	9	
Цифровой контакт 10	10	SPI (SS)
Цифровой контакт 11	11	SPI (MOSI)
Цифровой контакт 12	12	SPI (MISO)
Цифровой контакт 13	13	SPI (SCK)
Аналоговый контакт A0	A0	
Аналоговый контакт A1	A1	
Аналоговый контакт A2	A2	
Аналоговый контакт A3	A3	
Аналоговый контакт A4	A4	I2C (SCA)
Аналоговый контакт A5	A5	I2C (SCL)

На плате расположены контакты питания. На контакт питания 5V плата подает напряжение 5 вольт для питания внешних устройств. Соответственно на контакт 3.3V плата подает 3.3 вольта за счет встроенного стабилизатора напряжения. Три контакта GND соединены между собой и используются для подключения устройств к земле. VIN – контакт для подачи внешнего напряжения. Контакт IREF используется для информирования внешних устройств о рабочем напряжении платы.

Стоит отметить важный момент с питанием внешних устройств от платы: питание внешних устройств возможно от контактов с вольтажом в 5 и 3.3 вольта. Эти параметры будут учитываться при подборе датчиков для размещения на плате.

Питание платы:

Как видно из таблицы 2 рабочее напряжение платы – 5 вольт. Но из-за наличия встроенного стабилизатора напряжения плату можно питать от различных источников напряжением от 7 до 12 вольт. На плате размещены два разъема для подключения питания: USB-B и DC 2.1 мм. Так же для питания можно использовать контакт питания VIN. Данные способы подключения дают свободу в выборе источника питания: USB-порт компьютера, блок регулируемого напряжения, батарейка и.т.д. То есть плату можно удобно использовать как и на рабочем столе рядом с персональным компьютером, так и в местах без доступа к питанию с использованием автономного питания через вход DC.

### **1.3. XBee-модуль**

Радиомодули XBee компании Digi (рисунок 1.3) относятся к классу ZigBee-модулей с уже предустановленным программным обеспечением, благодаря которому значительно сокращаются сроки разработки конечного изделия и упрощается процесс передачи данных. При этом предполагается, что модуль, в большинстве случаев, работает под управлением внешнего хост-процессора. В то же время производитель допускает загрузку в модуль собственного приложения пользователя, которое при этом должно

самостоятельно взаимодействовать со стеком ZigBee, подключаемым на этапе компиляции программы.



Рисунок 1.3 – радиомодуль XBee

Основной режим работы модулей XBee — это работа под управлением внешнего микроконтроллера, управляющего модулем с помощью простых AT-команд или упорядоченных структур данных (режим API) [14].

Компания Digi разработала свой собственный фирменный (proprietary) ZigBee-профиль, позволяющий организовать прозрачную передачу данных между любыми узлами ZigBee-сети и предоставляющий доступ к цифровым и аналоговым портам ввода/вывода на удаленных узлах, работающих без хост-процессора.

Какие задачи способен выполнять XBee-модуль при использовании его без внешнего микроконтроллера? Это, прежде всего, работа с внешними

датчиками, которые выдают значения параметров в виде аналогового напряжения или имеют выходы с двумя состояниями — «включено/выключено». Модуль XBee имеет мультиплексированные аналоговые (4) и цифровые (12) порты. Для управления внешними устройствами, кроме цифровых выходов, можно использовать 2 вывода ШИМ (10 бит). Также XBee-модуль напрямую сопрягается с любыми устройствами, имеющими UART-интерфейс. При самостоятельной работе XBee-модуль может передавать данные по заданному расписанию, отправляя их через определенные промежутки времени, или по изменению состояния сигнала на цифровом порту.

Мощности передатчика хватает для общения на расстоянии до 120 м на улице и до 35 м в помещении. Скорость обмена данными: до 250 кбит/с. Устройство работает на частоте 2,4 ГГц. Возможны как простые соединения «точка-точка», так и сети со сложной топологией.

Модуль работает от напряжения 2,8 - 3,4 В, потребляет 45 мА в режиме приёма, 50 мА в режиме передачи и 0,01 мА в режиме энергосбережения [14].

Подключение XBee к Arduino UNO осуществляется по последовательному интерфейсу UART. То есть для осуществления передачи данных между платами достаточно соединить контакты TX и RX платы Arduino и платы XBee. Также можно подать питание на XBee с контакта +3.3V Arduino UNO и соединить землю XBee с контактом GND.

#### **1.4. Микросхема CC2530**

CC2530 (рисунок 1.4), разработан компанией Texas Instruments и основан на технологии IEEE 802.15.4, которая является стандартом для беспроводных сетей с низкой скоростью передачи данных и низким энергопотреблением. CC2530 обладает широким спектром функциональных возможностей, таких как поддержка многих протоколов связи (ZigBee/IEEE

802.15.4, ZigBee RF4CE и Smart Energy), аппаратное шифрование данных и высокая производительность.



Рисунок 1.4 – модуль трансивера на основе CC2530

Основные характеристики модуля CC2530 [16]:

1. Рабочая частота: частота работы в диапазоне 2,4 ГГц или 800/900 МГц.
2. Протокол связи: основан на технологии IEEE 802.15.4, обеспечивает беспроводную связь на небольших расстояниях с низким энергопотреблением.
3. Мощность передачи: до 3 мВт.
4. Радиус действия: до 100 м в помещении и до 1 км на открытом пространстве (в зависимости от условий окружающей среды).
5. Скорость передачи данных: до 250 кбит/с.
6. Интерфейсы: поддержка UART.
7. Конфигурируемость: настройка модуля через команды AT или программное обеспечение, также есть возможность программной настройки.
8. Совместимость: легко интегрируется с микроконтроллерами и другими устройствами.
9. Надежность: поддержка функции многократной повторной передачи (Retry) для обеспечения надежной связи.
10. Безопасность: поддержка шифрования данных и аутентификации для обеспечения безопасности передачи данных.

11. Дополнительные функции: поддержка многих протоколов связи (включая ZigBee, 6LoWPAN и другие), аппаратное шифрование данных, возможность работы в режиме маршрутизации и др.

Микросхема CC2530 предназначена для организации сетей стандарта ZigBee Pro, а также средств дистанционного управления на базе ZigBee RF4CE и оборудования стандарта Smart Energy. Схема CC2530 объединяет в одном кристалле РЧ-трансивер и микроконтроллер, ядро которого совместимо со стандартным ядром 8051 и отличается от него улучшенным быстродействием. ИС выпускается в четырех исполнениях CC2530F32/64/128/256, различающиеся объемом флэш-памяти - 32/64/128/256 Кбайт, соответственно. В остальном все ИС идентичны: они поставляются в миниатюрном RoHS-совместимом корпусе QFN40 размерами 6×6 мм и обладают одинаковыми рабочими характеристиками.

Самым распространенным вариантом применения данной микросхемы является модуль E18-MS1 от компании EBYTE (рисунок 1.5). E18-MS1PA2-PCB — это малогабаритный беспроводной модуль ZigBee 2,4 ГГц, тип SMD с печатной антенной, с мощностью передачи 100 мВт и шагом контактов 1,27 мм. Модуль способен координировать до 15 устройств без перебоев в работе



Рисунок 1.5 – модуль E18-MS1PA2-PSB



## 1.5. Raspberry Pi 4

Raspberry – это проект британской компании Raspberry Pi Foundation, направленный на предоставление массам доступа к технологичным инструментам разработки. При реализации проекта на рынок была выведена линейка одноплатных компьютеров размером с банковскую карту Raspberry Pi, преимуществом которых является ценовой сегмент в 5\$ и ниже (Raspberry Pi Zero).

Raspberry Pi 4 (рисунок 1.6) – это последняя версия линейки компьютеров, выпущенная 24 июня 2019 года.



Рисунок 1.6 – Raspberry Pi 4 Model B

Технические характеристики [17]:

1. процессор: Broadcom BCM2711, четыре ядра Cortex-A72 1.5 ГГц
2. графическое оформление: VideoCore VI 500 МГц
3. оперативная память: 1 ГБ, 2 ГБ, 4 ГБ, LPDDR4–2400 МГц, SDRAM
4. операционная система: Raspbian Buster (Debian 10)
5. интерфейс: 2× microHDMI, 1× MIPI DSI (разъем дисплея), 1× MIPI CSI (разъем камеры), 40-контактный
6. разъем GPIO, UART, SPI, I2C, выход 3.5 мм (4-контактный), 2× USB 3.0, 2× USB 2.0, картридер microSD
7. поддерживаемые интерфейсы: Wi-Fi 802.11ac, Bluetooth 5.0 LE, гигабитовый Ethernet RJ-45
8. источник питания: USB C (минимум 5 В / 3 А)
9. потребляемая мощность: 3 Вт (в режиме ожидания); 6,25 Вт (нагрузка)

Одноплатные компьютеры Raspberry Pi получили широкое применение как в промышленной сфере, так и в частном пользовании. Компьютер активно используется в областях домашней автоматизации, обучения, интерактивных технологий и других.

Для реализации серверной части был выбран одноплатный компьютер Raspberry Pi 4B, в силу его доступности и гибкости при использовании.

## **2. Периферийные устройства**

К периферийным устройствам относятся любые модули системы, которые осуществляют связь физического и цифрового пространств. Периферийные устройства делятся на датчики и исполнительные устройства (актуаторы).

Датчики по своей сути являются «глазами» систем Интернета вещей. Они производят мониторинг состояния за конкретными объектами физического пространства и переводят данные об их состоянии в цифровой вид для обработки и последующих действий с ними.

Актуаторы же можно назвать «руками» систем Интернета вещей, так как они воздействуют на физические объекты посредством цифровых команд, что по сути так же является связью физического и цифрового пространств.

### **2.1. Датчики**

Для проектов Интернета вещей датчики являются основой, так как они устанавливают связь между физическими объектами и цифровым пространством.

Независимо от индивидуальных требований и перечня задач, которые должна решать система в целом, именно датчики обеспечивают необходимую степень автоматизации и передают другим устройствам сигнал о необходимости включения или выключения в определенный момент. [3]

На сегодняшний день на рынке радио модулей можно найти разнообразные датчики от различных производителей. Это разнообразие объясняется требованиями заказчиков. Зачастую датчики используются для пользовательских проектов, на которые наложены определенные условия в виде точности измерения и условий работы (например, мониторинг температуры в помещении, или на улице, кратковременное измерение или постоянный мониторинг).

Так как модель «умной» дачи подразумевает постоянный мониторинг различных параметров, то стоит четко обозначить область мониторинга: наблюдение за климатическими параметрами теплицы; так же в теплице необходимо следить за состоянием почвы; наблюдение за домом на участке, а именно, отслеживание задымления и присутствия посторонних на участке.

Наиболее распространенными климатическими датчиками на рынке являются: цифровой датчик температуры DS18B20, датчик влажности и температуры DHT11(DHT22), датчик атмосферного давления BMP180(BMP280). Для создания модели «умной» дачи будем использовать климатические датчики DHT22 и BMP180. Выбор обусловлен лучшими параметрами по точности и стоимости, в сравнении с другими датчиками.

Для мониторинга состояния почвы был выбран емкостной датчик влажности (Capactive soil moisture sensor v1.2). Датчик был выбран по критерию устойчивости контактов к коррозии.

Для наблюдения за домом были выбраны датчик задымления MQ-2 и pir-датчик присутствия HC-SR501.

Все характеристики датчиков, описываемых ниже, взяты с официальной документации [4][5][6].

### **2.1.1. Датчики температуры и влажности**

DHT22 (Digital Humidity Temperature) (см. рисунок 2.1) – недорогой цифровой датчик температуры и влажности. Он использует емкостной датчик влажности и терморезистор для измерения температуры окружающего воздуха, данные выдает в цифровой форме по шине типа 1-wire. В использовании он довольно прост, но требует точного определения длительности временных сигналов, чтобы декодировать данные. Единственный недостаток — это возможность получения данных не чаще 1 раза в две секунды.

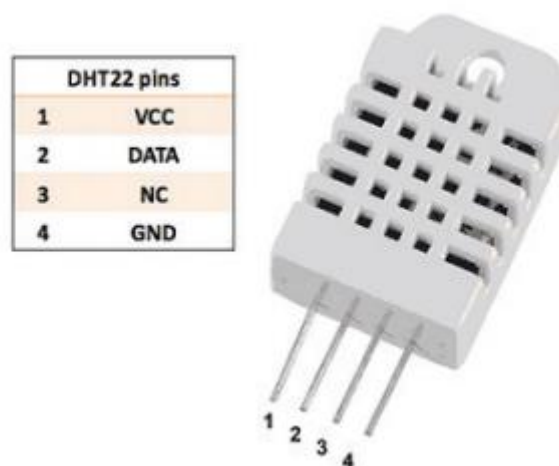


Рисунок 2.1 – Датчик влажности и температуры DHT22

Для преобразования данных внутри датчика используется 8-битный микроконтроллер. В процессе производства датчики калибруются, и калибровочная константа записывается вместе с программой в память микроконтроллера. Однопроводный последовательный интерфейс дает возможность быстрой интеграции в устройство [Петин, создание умного дома].

DHT22 определяет влажность в диапазоне от 0 до 100 % с точностью 2-5 % и температуру в диапазоне от -40 до 125 °C с точностью 0.5 °C. Частота опроса датчика не более одного раза в две секунды.

Между выводом питания и выводом данных необходимо разместить подтягивающий резистор. Рекомендуемый номинал 10 кОм, если расстояние от датчика к плате Arduino небольшое. Для расстояния больше 20 метров рекомендуется резистор номиналом 5,1 кОм. Так же необходим сглаживающий конденсатор между выводом питания и землей. Но для удобства подключения предусмотрен модульный вариант датчика, в который уже включен резистор и конденсатор (см. рисунок 2.2).



Рисунок 2.2 – Модуль датчика DHT11

DHT22 является улучшенным аналогом DHT11 с интервалами определения влажности в диапазоне от 0 до 100 % с точностью 2-5 % и температуры в диапазоне от -40 до 125 °C с точностью 0.5 °C с частотой опроса не более раза в 2 секунды. Имеется безмодульный (см. рисунок 2.1) и модульный (см. рисунок 2.2) варианты.

Для проекта были выбраны модули датчиков, поэтому нет необходимости использовать подтягивающий резистор и сглаживающий конденсатор. Модули подключаются по однопроводным последовательным интерфейсом непосредственно к пину приема данных (в проекте используется пин 3 для DHT11 и пин 5 для DHT22). Схема подключения модуля представлена на рисунке 2.3.

Описание передачи данных по однопроводному интерфейсу:

Микроконтроллер (МК) инициирует передачу данных путем отправки сигнала «Старт». Для этой цели данный вывод МК должен быть сконфигурирован на выход. МК сначала переводит линию в состояние низкого уровня, по крайней мере на 18 мсек, а затем переводит ее в высокое состояние на 20-40 мсек, прежде чем МК освобождает линию. Далее, датчик реагирует на сигнал «Старт» от МК, отправив низкий уровень сигнала длительностью 80 мсек, а затем высокий уровень с такой же

продолжительностью. После обнаружения сигнала отклика от датчика, МК должен быть готов к приему данных от датчика. Датчик посылает 40 бит (5 байт) данных, непрерывно в линию передачи данных. Следует отметить, что во время передачи байта, датчик посылает старший значащий бит первым [5] [6].

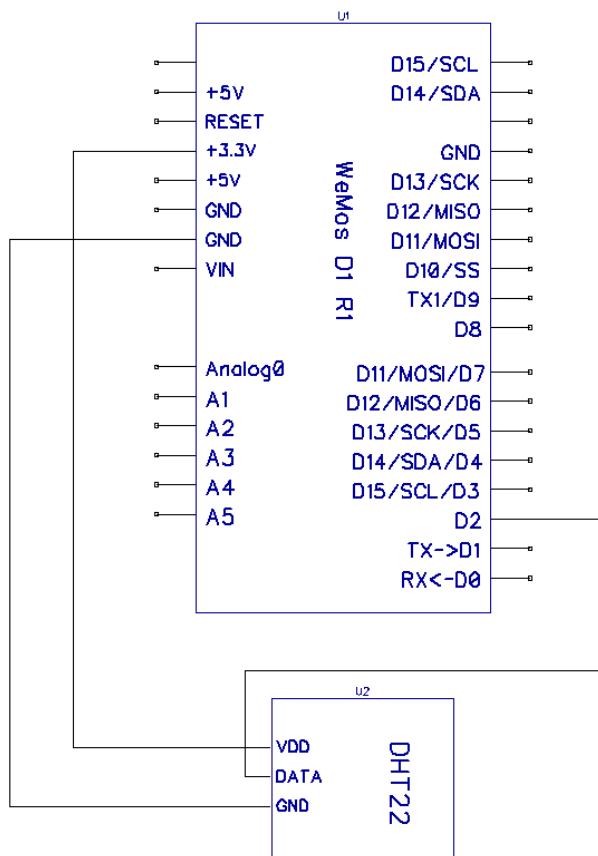


Рисунок 2.3— Схема подключения DHT22 к WeMos D1 R1

Датчик BMP180 (см. рисунок 2.4) (Digital Pressure Sensor) — является недорогим и простым в использовании сенсорным датчиком, позволяющий измерить атмосферное давления и температуру окружающей среды.

Выпускается только в модульном варианте. На модуле расположен сам сенсорный датчик BMP180 фирмы Bosch. Так как датчик BMP 180, работает от 3.3В (а почти все платы Arduino работают на 5В), на плате предусмотрен стабилизатор напряжения XC6206P332MR в корпусе SOT-23, который выдает на выходе напряжение в 3.3В, рядом установлена обвязка

стабилизатора, состоящая из двух керамических конденсаторов на 1 мкФ. Подключение осуществляется по интерфейсу I2C, линии SCL и SDA выведены на группу контактов на другой стороне модуля, туда же выведено и питание. Последние два резистора на 4.7 кОм, необходимы подтяжки линии SCL и SDA к питанию.

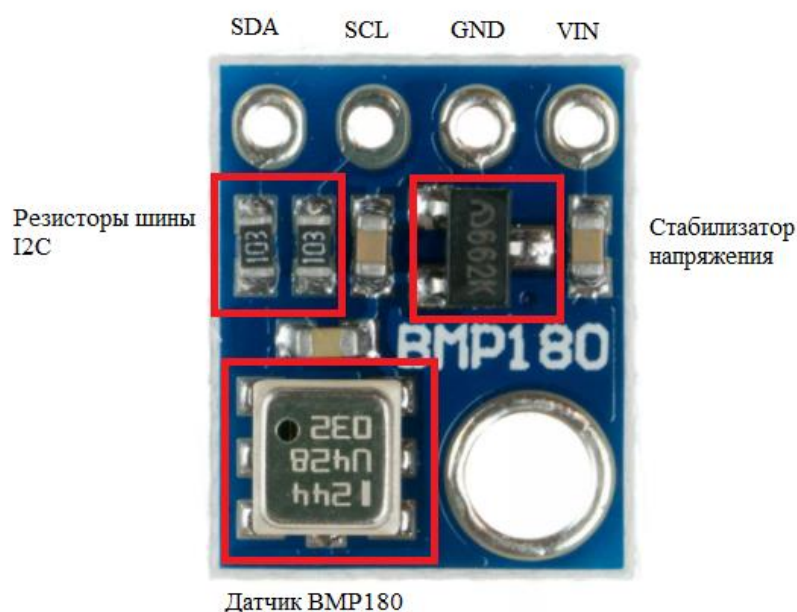


Рисунок 2.4 – Модуль датчика BMP180 с распиновкой

Характеристики датчика:

- Рабочая температура -40 ... 80 °C предельно допустимые значения
- Рабочее давление 0 ... 10 МПа предельно допустимые значения
- Диапазон давления: 300 ... 1100 гПа разрешение 0,06 гПа точность  $\pm 0,12$  гПа (на пределах  $\pm 1$  гПа)
- Диапазон температуры: 0 ... 65 °C разрешение 0,1°C точность  $\pm 0,5$  °C (на пределах  $\pm 2$  °C)
- Время преобразований 3 ... 51 мс зависит от режима точности

Модуль датчика BMP180 подключается к Arduino по последовательному интерфейсу I2C. Для подключения датчика используется следующая распиновка: SDA (шина данных) подключается к пину A4 (пин данных для шины I2C), SCL (шина тактирования) подключается к пину A5 (пин



тактирования шины I2C). Подключение датчика к Arduino представлено на рисунке 2.5.

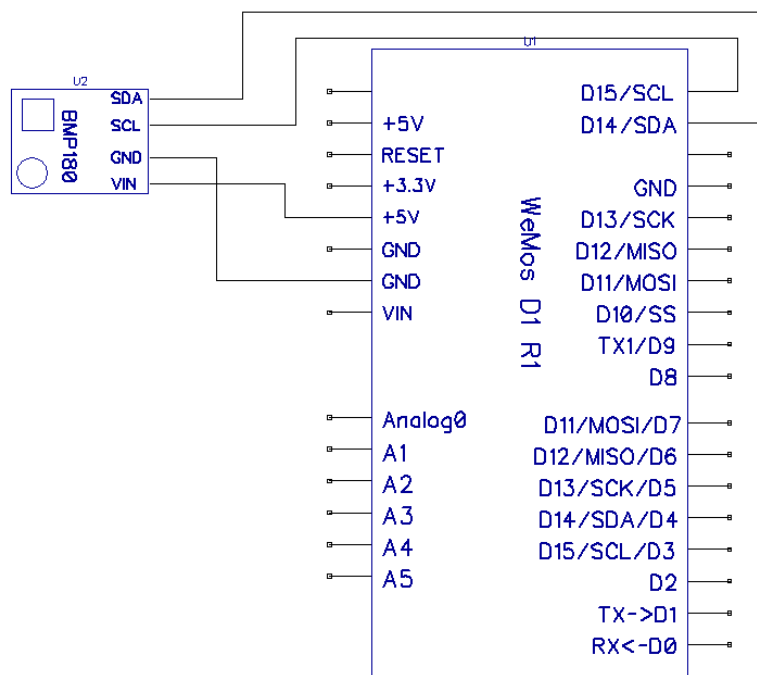


Рисунок 2.5 – Подключение BMP180 к WeMos D1 R1

Передача данных между датчиком и МК устроена более сложно, чем в DHT, так как на датчике организована EEPROM и RAM память.

Доступ к данным регистров датчика BMP180:

Каждый регистр датчика хранит 1 байт данных. Так как модуль использует интерфейс передачи данных I2C, то и доступ к данным охарактеризован им.

Запись данных в регистры:

Отправляем 1й байт (адрес датчика 0x77 и бит «R/W»=«0»); отправляем 2ой байт (адрес нужного нам регистра); отправляем 3й байт (данные для записи); после каждого отправленного байта, получаем ответ от датчика в виде одного бита «АСК». На рисунке 2.6 представлен пример записи в регистр 0xF4 значения 0xB4.

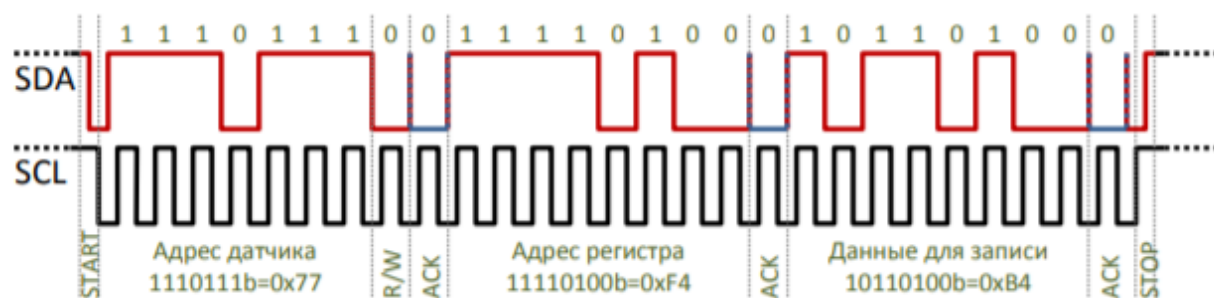


Рисунок 2.6 – Пример записи данных в регистр

Чтение данных из регистров:

Отправляем 1й байт, (адрес датчика 0x77 и бит «R/W» = «0»); отправляем 2ой байт (адрес нужного нам регистра); отправляем сигнал «RESTART»; отправляем 3й байт, (адрес датчика 0x77 и бит «R/W»=«1»); датчик ответит одним байтом данных из указанного регистра; если подать сигнал «ACK», то датчик передаст байт данных следующего регистра и т.д. пока мы не передадим сигнал «NACK». Если на шине только один ведущий, то после передачи двух первых байт (адреса датчика с битом «R/W» = «0» и адреса регистра) допустимо завершить пакет подачей сигнала «STOP» и начать новый пакет сигналом «START» передать адрес датчика с битом «R/W» после чего начать принимать или передавать данные. Такой вариант передачи данных позволяет использовать библиотеки, в которых нет сигнала «RESTART». На рисунке 2.7 представлен пример чтения байта из регистра 0xF6 (датчик ответил значением 0x5C).

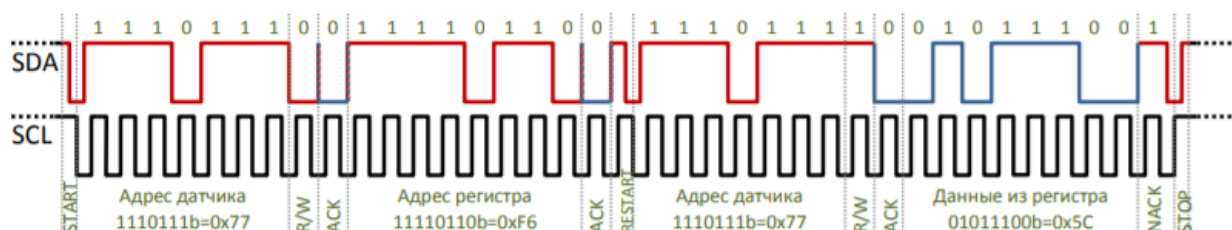


Рисунок 2.7 – Пример чтения данных из регистра

### 2.1.2. Датчик задымления

Зачастую, на дачных участках могут быть установлены газовые плиты. К сожалению, иногда они могут выходить из строя и пропускать через конфорки газ, который заполняет помещение, или же сам человек по неосторожности может вызвать воспламенение окружающих вещей с помощью газовой плиты, например, оставив рядом с ней легковоспламеняющийся материал. Для предупреждения таких случаев в модели «умной» дачи будем использовать модульный датчик широкого спектра газов MQ-2.

Датчик MQ-2, представленный на рисунке 2.8, способен определять в воздухе концентрацию сжиженного нефтяного газа, дыма (взвешенных частиц, образуемых в результате горения), пропана, водорода, метана и угарного газа.



Рисунок 2.8 – датчик MQ-2

Принцип работы датчика построен на химическом резисторе (датчик типа металл-оксид-полупроводник, MOS). Обнаружение газов основано на изменении сопротивления чувствительного материала. Когда газ вступает в реакцию с материалом, сопротивление материала изменяется, соответственно, изменяется выходное напряжение датчика на делителе напряжения.

Для лучшего протекания реакции между газами и химическим резистором в датчике предусмотрен нагревательный элемент, поэтому во время работы датчик будет горячим. Для обеспечения более точной работы сенсора необходимо во время первого запуска сенсор необходимо прогревать в течение суток. После этой операции последующее включение и прогрев датчика будет занимать не более двух минут.

Разобравшись со строением датчика можно более точно описать принцип его работы. Когда частицы полупроводника нагреваются на воздухе до высокой температуры, на поверхности адсорбируется кислород. В чистом воздухе донорные электроны диоксида олова (полупроводника) притягиваются к кислороду, который адсорбируется на поверхности чувствительного материала. Это предотвращает протекание электрического тока. В присутствии восстановительных газов поверхностная плотность адсорбированного кислорода уменьшается, так как он реагирует с восстановительными газами. Из-за чего электроны высвобождаются в диоксид олова, что позволяет току свободно течь через датчик.

Датчик газа MQ-2 работает при постоянном напряжении 5 В и потребляет около 800 мВт. Он способен обнаруживать концентрации газов от 200 до 10000 ppm (миллионных долей). Миллионная доля (сокращенно ppm) – это соотношение одного газа к другому. Например, 1000 ppm CO означает, что, если бы вы могли сосчитать миллион молекул газа, то 1000 из них были бы моноокисью углерода, а 999 000 молекул – какими-то другими газами.

Характеристики датчика:

- Напряжение питания: 5В
- Потребляемый ток (ток нагревателя): 180мА
- Диапазон чувствительности 300-10000 ppm
- Газ, для которого нормируется датчик: изобутан, 1000ppm
- Время отклика: менее 10 с
- Рабочая температура: от -10 до +50 °С

- Рабочая влажность воздуха: не более 95% RH
- Интерфейс: аналоговый и цифровой

Сам датчик газа скрыт внутри двух слоев тонкой сетки из нержавеющей стали. Это необходимо для того, чтобы в случае выхода из строя нагревательного элемента внутри датчика не произошел взрыв, при обнаружении легковоспламеняющихся газов. Так же сквозь сетку могут проходить только взвешенные частицы, что предотвращает попадание негазообразных веществ на датчик.

Для подключения датчика к микроконтроллеру используется модульный вариант датчика (Рисунок 2.9). Такой вариант подключения датчика позволяет довольно простым способом организовать обмен данными с микроконтроллером. Также модульный датчик имеет два выхода: цифровой и аналоговый. Напряжение на аналоговом выходе изменяется пропорционально концентрации газов, попадающих на датчик. Соответственно, чем выше концентрация газов, тем выше выходное напряжение датчика.



Рисунок 2.9 – модульный вариант датчика MQ-2

Аналоговый сигнал от датчика поступает на высокоточный компаратор LM393, расположенный в нижней части модуля, для оцифровки сигнала. Рядом с компаратором расположен потенциометр, регулирующий чувствительность датчика (Рисунок 2.10). С помощью этого потенциометра производится калибровка датчика. Что бы произвести калибровку необходимо держать датчик вблизи с источником газа, который необходимо будет обнаруживать, и поворачивать ручку потенциометра, пока на модуле не начнет светиться красный светодиод, показывающий обнаружение газа.



Рисунок 2.10 – модульный вариант датчика MQ-2 (вид снизу)

Рассмотрим контакты модуля, используемые для подключения к микроконтроллеру (Рисунок 2.11):



Рисунок 2.11 – контакты модуля датчика MQ-2

– VCC обеспечивает питание для модуля. Ранее было рассмотрено, что датчик питается от 5В, соответственно контакт VCC подключается к контактам питания периферии микроконтроллера 5В.

– GND – вывод земли, должен быть подключен к выводу GND на микроконтроллере.

– D0 обеспечивает цифровое представление о наличии горючих газов. Подключается к любому цифровому контакту микроконтроллера.

– A0 обеспечивает аналоговое выходное напряжение, пропорциональное концентрации газа. Подключается к любому аналоговому контакту микроконтроллера.

### 2.1.3. Датчик движения

В продолжение темы безопасности участка, стоит задуматься о мониторинге присутствия посторонних на участке. Для заданных целей будем использовать PIR-сенсор с датчиком HC-SR501 (Рисунок 2.12).



Рисунок 2.12 – датчик HC-SR501 с линзой Френеля

Принцип действия PIR-датчика построен на сравнении инфракрасного излучения в помещении с «нормальным» инфракрасным излучением. При включении датчик настраивается на «нормальное» излучение в пределах зоны обнаружения, затем он ищет изменения излучения в этой зоне, например, если человек переместится в пределах контролируемой зоны. Для определения излучения используется пироэлектрический датчик. Пироэлектричество — это свойство генерировать определенное электрическое поле при облучении материала инфракрасными лучами. Особенностью датчика является то, что датчик не излучает сигнал, а только принимает. Это устройство генерирует электрический ток в ответ на прием



инфракрасного излучения: при изменении излучения на выходе датчика формируется напряжение.

Для повышения чувствительности и эффективности датчика HC-SR501 используется метод фокусировки инфракрасного излучения на устройство, достигается, это с помощью «Линзы Френеля». Линза выполнен из пластика и 25 выполнена в виде купола и фактически состоит из нескольких небольших линз Френеля. Хотя пластик и полупрозрачен для человека, но на самом деле полностью прозрачен для инфракрасного света, поэтому он также служит в качестве фильтра.

На плате датчика присутствуют два потенциометра, предназначенные для настройки чувствительности датчика (левый потенциометр на рисунке 2.13) и времени задержки сигнала при обнаружении (правый потенциометр на рисунке 2.13). Настройка производится в пределах от 3 до 7 метров и от 3 секунд до 5 минут соответственно.

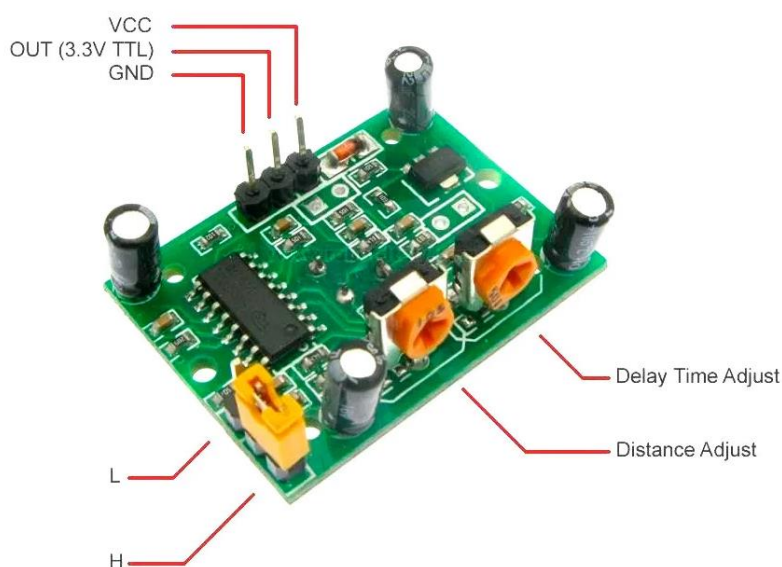


Рисунок 2.13 – обратная сторона модуля HC-SR501

На плате предусмотрена перемычка, с помощью которой выбирается режим работы датчика:

H – настройка Hold. В этом положении HC-SR501 будет продолжать выдавать высокий уровень, пока он обнаруживает движение.

L — это параметр прерывания. В этом положении выход будет оставаться в высоком уровне в течение периода, который установлен потенциометром, отвечающим за время.

Технические характеристики:

Напряжение питания: 4.8В - 20В

Статический ток: 50 мА

Уровня выходного сигнала: 3.3 В / 0 В

Время задержки: 0.5 — 200с (регулируемая)

Время блокировки: 2.5 с

Угол работы: < 100

Рабочая температура: -15С ... + 70С

Определение объектов: 23 мм

Габариты: 33мм x 25мм x 24мм

Контакты модуля:

VCC — положительное напряжение постоянного тока от 4,5 до 20 В постоянного тока.

OUTPUT — логический выход на 3,3 вольта. Высокий уровень соответствует обнаружению в поле контролируемой зоны.

GND — земля.

#### 2.1.4. Датчик влажности почвы

Для мониторинга состояния почвы, а именно, влажности, лучшим выбором на рынке будет емкостной датчик влажности почвы (рисунок 2.14).

Данный датчик измеряет уровень влажности почвы посредством емкостного измерения, а не резистивного, как другие датчики. Это позволило увеличить срок службы датчика, так как он не подвержен коррозии. Так же, модуль включает в себя встроенный стабилизатор напряжения, с помощью которого обеспечивается диапазон работы от 3.3 В до 5.5 В, что позволяет подключать его как к Arduino UNO, так и к NodeMCU.

Выходное напряжение ёмкостного датчика почвы составляет от 1.2 В до 3.0 В.



Рисунок 2.14 – емкостной датчик влажности почвы

Емкостный датчик выполнен в виде штыря, которым погружается в грунт на расстояние до 80 мм. На штыре в виде дорожек расположены два электрода.

Внутри емкостного датчика находится RC-генератор на таймере 555, частота которого зависит от емкости между двумя электродами, которые выполняют роль конденсатора. Изменение влажности грунта сказывается на его диэлектрических свойствах и меняет ёмкость, что приводит к повышению или понижению выходного сигнала датчика. Итоговое напряжение пропорционально степени влажности почвы.

Емкостной датчик почвы v1.2 имеет один разъем (PH2.0-3P) для подключения:

GND — заземляющий вывод питания.

VCC — вывод питания 3.3 В — 5 В.

AUOT — аналоговый выход до 3В.

## 2.2. Актуаторы

Исполнительное устройство (исполнительный элемент, актуатор) — функциональный элемент системы автоматического управления, который воздействует на объект управления, изменяя поток энергии или материалов, которые поступают на объект. Большинство исполнительных устройств имеет механический или электрический выход.

Состоит из двух функциональных блоков: исполнительного устройства и регулирующего органа, например регулирующего клапана, и может оснащаться дополнительными блоками.

### 2.2.1. Реле-модули

Реле позволяет подключить устройства, работающие в режимах с относительно большими токами или напряжениями, которые невозможно запитать от платы напрямую, например, лампы накаливания или насосы.

Реле модули (рисунок 2.15) повсеместно встречаются в проектах умного дома, так как они очень просты в использовании и подключении, и выполняют хоть и простой, но довольно полезный функционал, а именно, управление большими нагрузками.



Рисунок 2.15 – электромагнитный реле-модуль

Электромагнитное реле – это электрическое устройство, которое механическим путем замыкает или размыкает цепь нагрузки при помощи магнита. состоит из электромагнита, подвижного якоря и переключателя.

Работает реле благодаря электромагнитной силе, возникающей в сердечники при подаче тока по виткам катушки. В исходном состоянии

пружина удерживает якорь (рисунок 2.16, левая схема). Когда подается управляющий сигнал, магнит начинает притягивать якорь и замыкать либо размыкать цепь (рисунок 2.16, правая схема). При отключении напряжения якорь возвращается в начальное положение. Источниками управляющего напряжения могут быть датчики (давления, температуры и прочие), электрические микросхемы и прочие устройства, которые подают малый ток или малое напряжение.

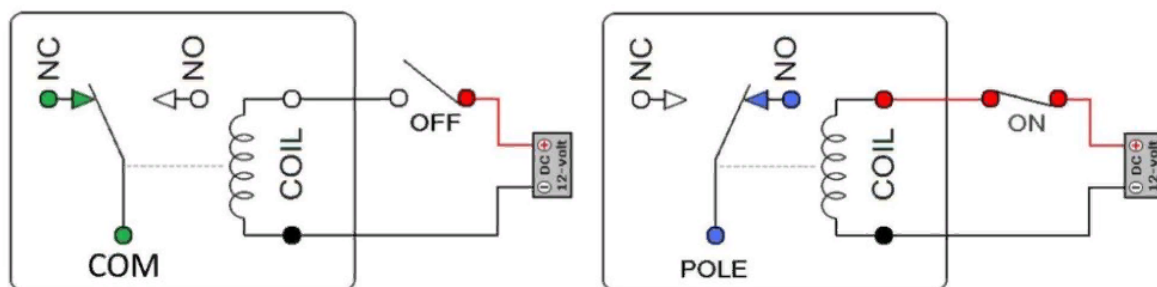


Рисунок 2.16 – принцип работы электромагнитного реле

На плате реле-модуля расположены два индикаторных светодиода:

Красный – на реле подается напряжение.

Зеленый – происходит замыкание реле.

Контакты реле, подключаемые к плате:

VCC – питание 5 В.

GND – земля.

IN – контакт управления. Низкий логический уровень – 0 В, высокий логический уровень – 5 В.

Контакты реле, подключаемые к управляемому устройству:

NO – нормально замкнутый контакт.

COM – общий контакт.

NC – нормально разомкнутый контакт.

### 3. Организация обмена данными

#### 3.1. ESP-MESH

ESP-MESH – это сетевой протокол, построенный на основе протокола Wi-Fi. ESP-MESH позволяет нескольким устройствам (называемым узлами), распределенным по большой области в пространстве, соединяться в рамках одной WLAN (беспроводной локальной сети).

ESP-MESH отличается от традиционных инфраструктурных сетей Wi-Fi тем, что узлам не требуется подключаться к центральному узлу. Вместо этого, узлам разрешается соединяться с соседними узлами. Узлы несут взаимную ответственность за ретрансляцию передач друг друга. Это позволяет сети ESP-MESH иметь гораздо большую зону покрытия, поскольку узлы все еще могут обеспечивать взаимосвязь без необходимости находиться в зоне действия центрального узла (рисунок 3.1). Аналогичным образом, ESP-WIFI-MESH также менее подвержен перегрузке, поскольку количество узлов, разрешенных в сети, больше не ограничено одним центральным узлом.

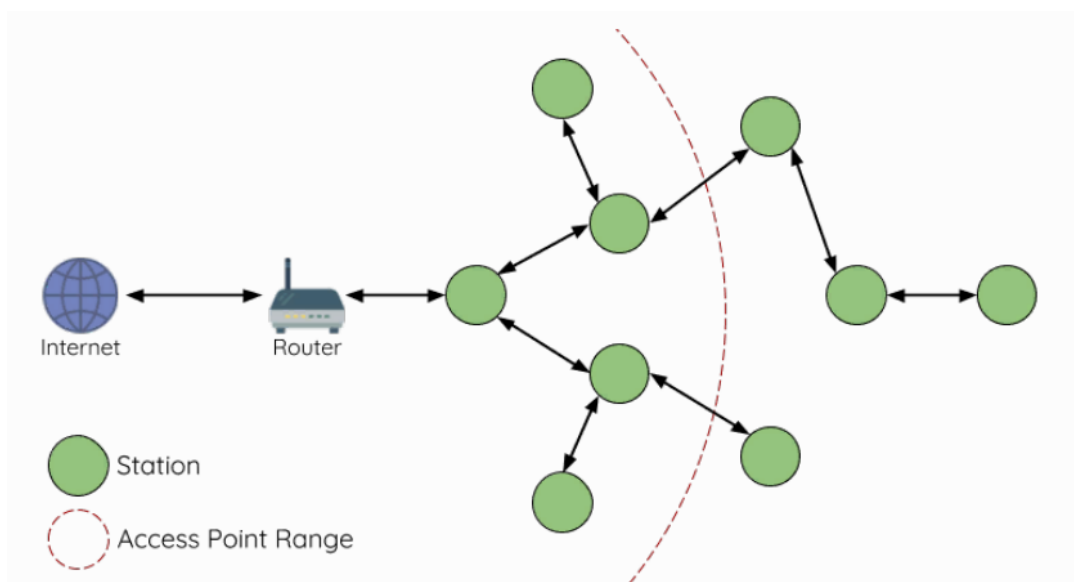


Рисунок 3.1 – строение MESH-сети

ESP-MESH построен поверх протокола Wi-Fi инфраструктуры и может рассматриваться как сетевой протокол, объединяющий множество отдельных сетей Wi-Fi в единую беспроводную сеть. В Wi-Fi станции ограничены одним соединением с точкой доступа (восходящее соединение) в любое

время, в то время как точка доступа может быть одновременно подключена к нескольким станциям (нисходящие соединения). Однако ESP-WIFI-MESH позволяет узлам одновременно действовать как станция и точка доступа. Поэтому узел в ESP-WIFI-MESH может иметь несколько нисходящих соединений, используя свой интерфейс SoftAP, одновременно имея одно восходящее соединение с использованием интерфейса станции. Это, естественно, приводит к топологии древовидной сети с иерархией "родитель-потомок", состоящей из нескольких уровней.

Дальность передачи данных с помощью ESP-MESH определяется параметрами платы esp8266. Для данной платы зона покрытия составляет до 400 метров на открытой местности.

Типы узлов в сети ESP-MASH [10]:

**Корневой узел:** Корневой узел является верхним узлом в сети и служит единственным интерфейсом между сетью ESP-WIFI-MESH и внешней IP-сетью. Корневой узел подключен к обычному маршрутизатору Wi-Fi и ретранслирует пакеты во внешнюю IP-сеть/из нее на узлы в сети ESP-MESH. В сети ESP-MESH может быть только один корневой узел, и восходящее соединение корневого узла может быть только с маршрутизатором. Ссылаясь на приведенную ниже диаграмму (рисунок 3.2), узел А является корневым узлом сети.

**Конечные Узлы:** Конечный узел-это узел, которому запрещено иметь какие-либо дочерние узлы (без нижестоящих соединений). Поэтому конечный узел может передавать или принимать только свои собственные пакеты, но не может пересылать пакеты других узлов. Если узел расположен на максимально допустимом уровне сети, он будет назначен конечным узлом. Это предотвращает формирование узлом каких-либо нижестоящих соединений, тем самым гарантируя, что сеть не добавит дополнительный уровень. Ссылаясь на приведенную ниже диаграмму (рисунок 3.2), узлы



L/M/N расположены на максимально допустимом уровне сетей, поэтому они были назначены конечными узлами.

**Промежуточные родительские узлы:** Подключенные узлы, которые не являются ни корневым узлом, ни конечным узлом, являются промежуточными родительскими узлами. Промежуточный родительский узел должен иметь одно восходящее соединение (один родительский узел), но может иметь от нуля до нескольких нисходящих соединений (от нуля до нескольких дочерних узлов). Поэтому промежуточный родительский узел может передавать и принимать пакеты, а также пересылать пакеты, отправленные из его вышестоящих и нижестоящих соединений. Ссылаясь на приведенную выше диаграмму, узлы от В до J являются промежуточными родительскими узлами. Промежуточные родительские узлы без нисходящих соединений, такие как узлы E/F/G/I/J (рисунок 3.2), не эквивалентны конечным узлам, поскольку им все еще разрешено формировать нисходящие соединения в будущем.

**Незанятые узлы:** Узлы, которые еще не присоединились к сети, назначаются в качестве незанятых узлов. Бездействующие узлы попытаются сформировать восходящее соединение с промежуточным родительским узлом или попытаются стать корневым узлом при правильных обстоятельствах. Ссылаясь на приведенную ниже диаграмму (рисунок 3.2), узлы К и О являются простаивающими узлами.

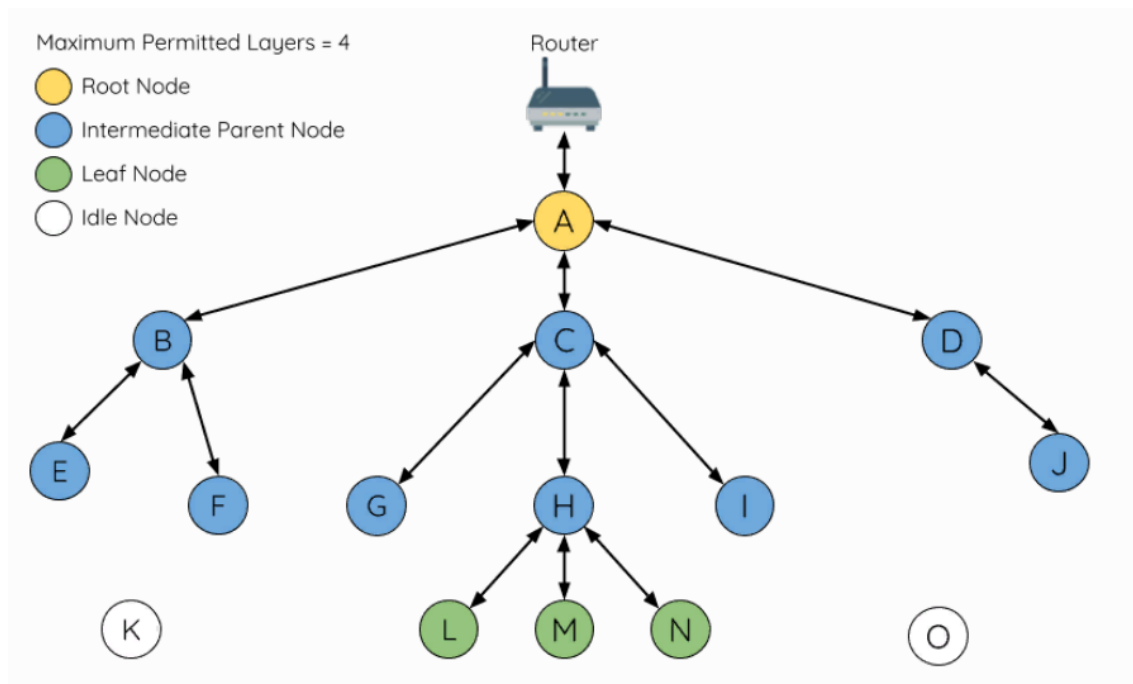


Рисунок 3.2 – типы узлов в ESP-MESH сети

### 3.2. Протокол LoRaWAN

LoRaWAN – это технология беспроводной передачи данных, в которой используется метод радиомодуляции, который может осуществляться приемопередатчиками Semtech LoRa. Этот протокол модуляции обеспечивает передачу небольших данных на большие расстояния, высокую устойчивость к помехам при минимальном потреблении энергии.

LoRa использует нелицензированные частоты, доступные по всему миру. Вот самые широко используемые частоты: 868 МГц для Европы (Россия – 863 – 870 МГц, 433 МГц); 915 МГц для Северной Америки; 433 МГц для Азии.

Типовая беспроводная сеть LoRaWAN представляет собой совокупность шлюзов (gateways), пересылающих сообщения между оконечными устройствами (end-devices) и центральным сервером (Network Server, NS), и характеризуется «звездной» топологией «star-of-stars» (рисунок 3.3).

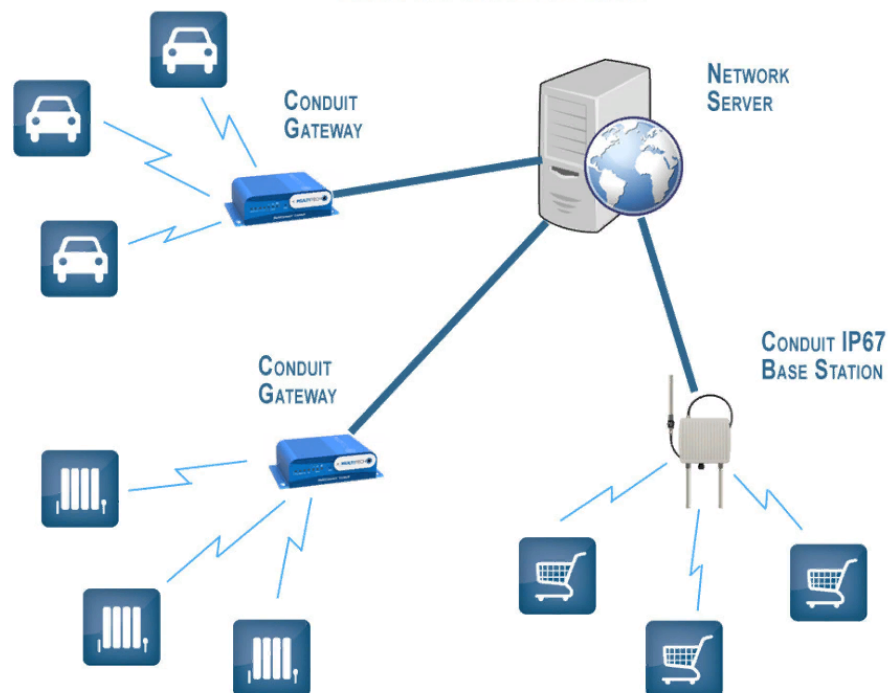


Рисунок 3.3 –топология сети LoRaWAN

Шлюзы называют также концентраторами (concentrators) и базовыми станциями (base stations). Оконечные устройства часто называют «motes». Связь между шлюзами и центральным сервером осуществляется через стандартные IP-соединения, а между шлюзами и оконечными устройствами — через беспроводные соединения, использующие широкополосную модуляцию LoRa или FSK. Модуляция LoRa была разработана компанией Semtech и предназначена для низкоскоростной беспроводной передачи данных на расстояния до нескольких километров в безлицензионных диапазонах частот (Европа — 433 и 868 МГц).

Связь между шлюзами и оконечными устройствами является двусторонней, но предполагается, что основной объем данных передается от оконечных устройств к шлюзам. Технология LoRa обеспечивает скорость передачи в беспроводном канале от 0.3 до 50 кбит/с. Для разделения каналов используется как набор частотных каналов, так и скоростей передачи (data rates).

Для оптимизации работы системы используется адаптивное изменение скорости передачи — ADR (adaptive data rate). Сетевой сервер оценивает качество сигнала, принимаемого от оконечного устройства, и может управлять как скоростью передачи, так и мощностью передатчика этого устройства.

Оконечное устройство может передавать данные на любом доступном канале и любой скорости передачи, учитывая следующее: каждый раз при передаче сообщения частотный канал выбирается оконечным устройством случайным образом из списка доступных каналов; перед началом передачи оконечное устройство должно убедиться в том, что канал свободен (Listen Before Talk, LBT), канал считается свободным, если измеренное мгновенное значение RSSI меньше, чем `RSSI_FREE_TH`, если канал занят, то устройство переходит на другой канал и повторяет процедуру LBT; оконечное

устройство должно принимать во внимание ограничения местных регулирующих органов относительно процента времени, в течение которого устройство может занимать частотный канал [11].

Основные преимущества беспроводных сетей LoRaWAN обусловлены использованием широкополосной модуляции LoRa и безлицензионных диапазонов частот. Сети LoRaWAN: совместимы с существующими сетями/технологиями беспроводной передачи данных; обладают высокой помехоустойчивостью; способны обслуживать десятки и сотни тысяч устройств; обеспечивают большую зону охвата и малое энергопотребление оконечных устройств; дальность передачи составляет до 15 километров на открытой местности и до 5 километров в городе.

### 3.3. ESP-NOW

ESP-NOW – это упрощенный протокол беспроводной связи от Espressif для обмена небольшими пакетами данных (до 250 байт). Он позволяет нескольким устройствам взаимодействовать друг с другом без подключения к Wi-Fi.

Протокол ESP-NOW образует двустороннюю передачу данных между двумя элементами сети (платами), поэтому топология сети очень простая: каждый из двух элементов сети выступает в роли приемника и передатчика одновременно. Так же возможны образования сетей «one-slave-multi-master» (один приемник, много передатчиков) или «one-master-multi-slave» (один передатчик, много приемников) (рисунок 3.4).

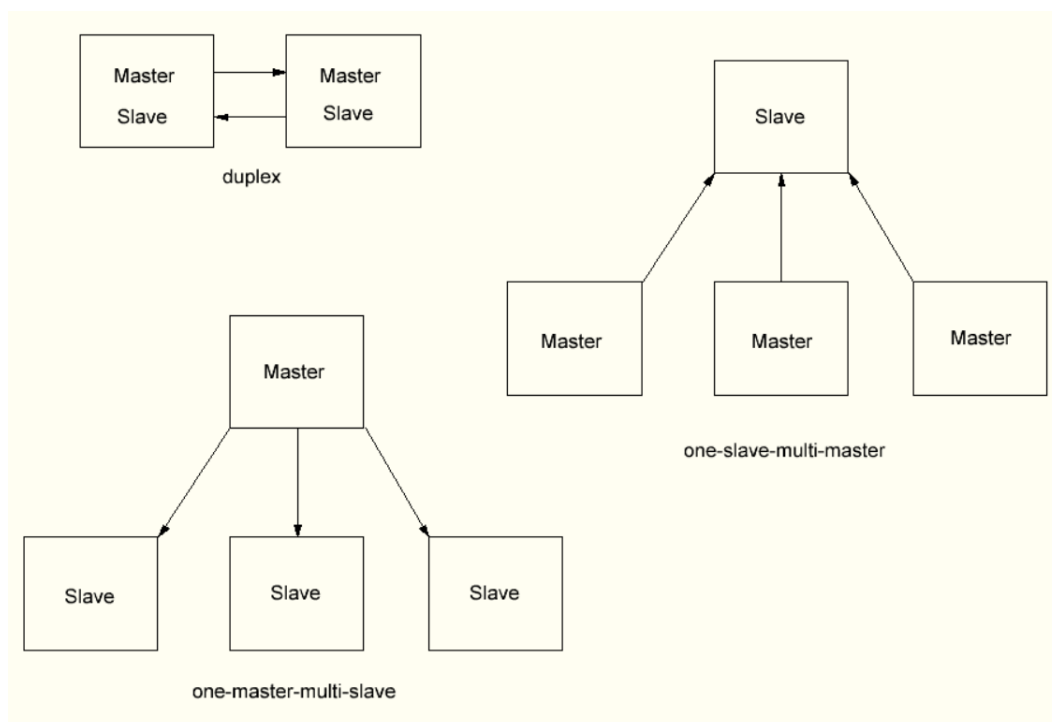


Рисунок 3.4 – виды сетей ESP-NOW

ESP-NOW поддерживает следующие функции:

- 1) Зашифрованная и незашифрованная связь между сопряженными парами устройств.
- 2) Смешанные зашифрованная и незашифрованная связь между сопряженными устройствами.
- 3) Передача до 250 байт полезной информации.
- 4) Настройка функции обратного вызова для информирования прикладного уровня, в частности, об успешности или сбое передачи.

На нижнем уровне протокола ESP-NOW поддерживается связанный список, содержащий информацию о локальном устройстве и о сопряженном устройстве, в том числе MAC-адреса и ключи. ESP-NOW также хранит часто используемые данные для прикладного уровня, чтобы избежать накладных расходов на повторную обработку связанного списка. Информация об устройствах используется для отправки и получения данных и включает в себя:

Информацию о локальном устройстве (PMK: 16 байт — основной мастер-ключ, который используется для шифрования ключа на присоединенном устройстве (KOK в API) ESP\_NOW поддерживает PMK по умолчанию, поэтому настройка не требуется. Если необходимо, можно убедиться, что значение PMK совпадает с локальным устройством. Режим: 1 байт — режим локального устройства, определяющий передающий WiFi интерфейс (SoftAP или STA) ESP-NOW. Режим сопряженного устройства не влияет на какую-либо функцию, а только сохраняет информацию о режиме для прикладного уровня. В режиме STA WiFi применим только Station и SoftAP WiFi — только SoftAP.);

Информацию о сопряженном устройстве в паре (LMK: 16 байт — локальный мастер-ключ, который используется для шифрования ключа полезной информации во время связи в данной паре; MAC-адрес: 6 байт — адрес сопряженного устройства, совпадает с адресом отправителя. Например, если пакет отправляется со Station, MAC-адрес должен совпадать с адресом Station; Режим: 1 байт — режим локального устройства определяющий передающий интерфейс (SoftAP или STA) ESP-NOW; Канал: 1 байт — канал, через который обмениваются данными устройства, соединенные в пару. Может иметь значение 0...255. Канал не влияет ни на какую функцию, а только сохраняет информацию о канале для прикладного уровня. Значение определяется прикладным уровнем. Например, 0 означает, что канал не определен; 1 ~ 14 означает действительные каналы; всем остальным значениям могут быть назначены функции, которые определены прикладным уровнем) [12].

Формат пакета ESP-NOW [12]:

- 1) Заголовок MAC: 24 байта.
- 2) Категория: 1 байт, указывающий на категорию создателя пакета. Установлено значение (127).
- 3) ID организации: 3 байта, содержит уникальный идентификатор, который является первыми тремя байтами MAC-адреса, примененного Espressif. Установлено значение (0x18fe34)
- 4) Случайное значение: 4 байта, используется для защиты данных.
- 5) Данные создателя пакета: 7-255байт

Данные создателя пакета содержат следующие поля [12]:



- 1) ID: 1 байт, Установлено значение (221).
- 2) Длина: 1 байт, общая длина ID организации, типа, версии и пользовательских данных.
- 3) ID организации: 3 байта, содержит уникальный идентификатор, который является первыми тремя байтами MAC-адреса, примененного Espressif. Установлено значение (0x18fe34)
- 4) Тип: 1 байт, протокол ESP-NOW. Установлено значение (4)
- 5) Версия: 1 байт, текущая версия ESP-NOW. Установлено (1)
- 6) Содержимое: 0-250 байт пользовательские данные.
- 7) FCS: 4 байта, контрольная сумма

### 3.4. Протокол ZigBee

Zigbee — спецификация сетевых протоколов верхнего уровня — уровня приложений APS (англ. application support sublayer) и сетевого уровня NWK, — использующих сервисы нижних уровней — уровня управления доступом к среде MAC и физического уровня PHY, регламентированных стандартом IEEE 802.15.4. Zigbee и IEEE 802.15.4 описывают беспроводные персональные вычислительные сети (WPAN). Спецификация Zigbee ориентирована на приложения, требующие гарантированной безопасной передачи данных при относительно небольших скоростях и возможности длительной работы сетевых устройств от автономных источников питания (батарей).

ZigBee создан на основании стандарта IEEE 802.15.4-2006 и состоит из высокоуровневых протоколов, которые работают с маленькими цифровыми трансиверами. Передача данных осуществляется по радиоканалу. Частота зависит от региона. Функционирование на частоте 2,4 ГГц не связано с расположением. Стандарт создавался с целью быть легче в эксплуатации и ниже в цене. Характерен низкий период ответа оборудования. Период активации занимает не более 15 миллисекунд [13]. Благодаря переходу в спящий режим значительно падает потребность в электроэнергии. Система позволяет работать с приложениями для:

- телекоммуникаций;
- игрушек;
- коммерческого строительства;
- повышения энергоэффективности;
- персонального домашнего ухода за больными;
- автоматизации процессов дома.

Внутри системы все ZigBee устройства делятся на несколько групп (рисунок 3.5):

- 1) Координаторы (ZC). Прибор запускает сеть и задает все команды для управления ее действиями. Также контроллер обеспечивает безопасность всех процессов.
- 2) Маршрутизаторы (ZR). Функционируют непрерывно и обеспечивают работу устройств, находящихся в режиме сна (до 32 штук). Также переносят данные и занимаются восстановлением

гаджетов в случае большой загруженности или неисправности системы. Образуют соединение с координатором, другим маршрутизатором, а также с дочерними периферийными приборами и оборудованием для передачи информации.

- 3) Конечные устройства (ZED). Выполняют получение и отправку пакетов данных. Подключаются к двум гаджетам, перечисленным выше. Не подключают дочерние приборы. Работают с сенсорами, контроллерами и механизмами, выполняющими команды. Для сохранения энергии часто работают в спящем режиме.

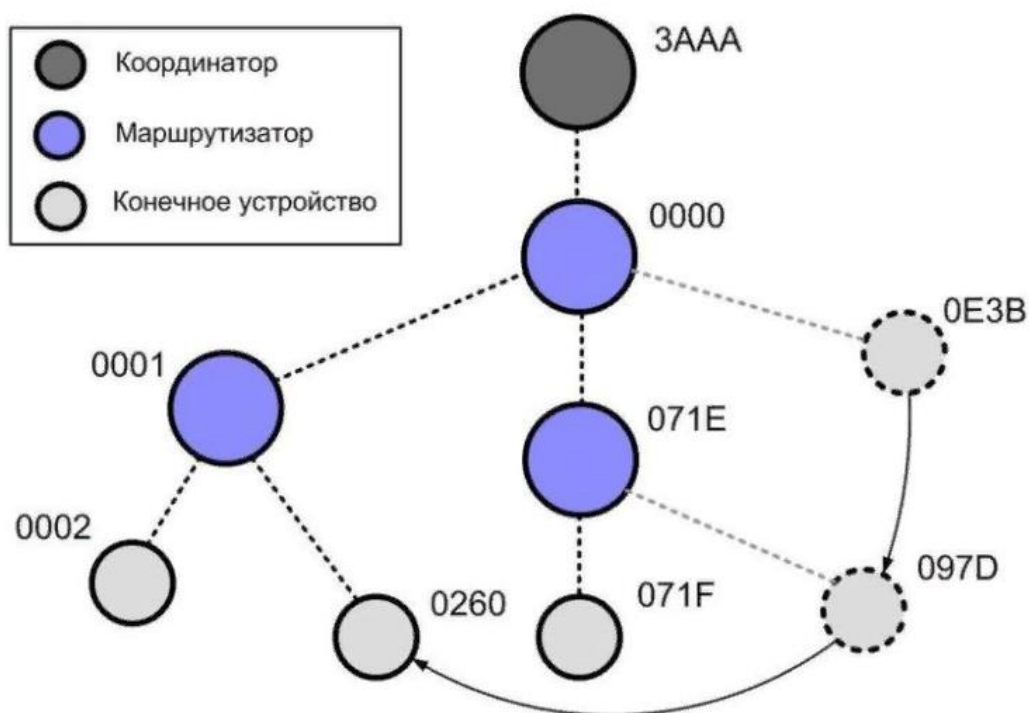


Рисунок 3.5 – топология ZigBee сети

На начальном этапе формирования сети используется PAN координатор. Он вычисляет радиоканал, в котором нет помех, и ждет запросы на подключение, которые отправляют разные устройства. Изначально подключать других участников может только координатор, а в дальнейшем и другие устройства для пересылки данных. После получения запроса происходит обмен сообщениями.

Бывает два варианта присоединения: MAC ассоциация, повторное сетевое присоединение. В первом случае устройство, желающее стать частью сети на MAC уровне, отправляет запрос маячка. Когда маячки достигают цели, управляющее устройство сканирует сети и выбирает, какую лучше

подключить в конкретной ситуации, высылает притязание о присоединении со значком «повторное присоединение». Получив ответ, управляющее устройство высылает сообщение с адресом. Такой способ присоединения не достаточно безопасен, поскольку все данные не защищены кодированием.

Повторное сетевое присоединение также часто используется при первичном обращении. В таком случае участник, желающий вступить в сеть, знает текущий ключ. Поэтому, такой способ присоединения намного безопаснее. Узнать ключ можно при настройке оборудования. При повторном подключении оборудование обменивается между собой пакетами запроса и ответа на присоединение.

Видно, то сеть ZigBee представляет собой MESH-сеть. Единственным отличием от mesh-сети является то, что сеть ZigBee является самоорганизующейся сетью, то есть узлы могут сами перенаправлять поток данных для более устойчивой работы сети. Так, например, при выходе из строя одного устройства-маршрутизатора сеть перестраивает свою структуру в обход вышедшего из строя устройства и передача данных продолжается. Поэтому ZigBee сети являются сетями с большой отказоустойчивостью.

## **4. Моделирование системы с использованием протокола ESP-NOW**

Разобравшись с работой выбранных модулей и способом обмена данных внутри сети, образованной несколькими платами ESP8266, можно рассмотреть аналитическую модель «умной дачи».

Для формирования модели будем использовать все вышеперечисленные датчики и актуаторы, две платы WeMos D1 R1, так же будем использовать помпу или насос как мощную нагрузку для реле.

### **4.1. Схема подключения устройств и размещения на участке**

Аналитическая модель предусматривает наличие доступной Wi-Fi сети на участке с доступом в Интернет, так как это будет являться единственным каналом передачи данных на смартфон. На рисунке 4.1 представлена схема расположения модулей на участке.

Модуль теплицы целесообразно поместить в пластиковый корпус с помещенным внутрь впитывающим материалом, так как повышенная влажность в теплице может вызвать коррозию контактов платы и преждевременный выход ее из строя. Чтобы не исказить результаты датчиков их стоит вынести за корпус, в котором будет помещена плата. Так же все элементы тепличного модуля помещены внутрь тепличного помещения для того, чтобы внешние погодные условия не вывели элементы из строя.

Модуль жилого помещения размещен непосредственно в помещении, рядом платой ESP8266 будет расположен датчик задымления MQ2. Датчик целесообразно устанавливать в комнате, где имеется большая вероятность возникновения задымления, например, на кухне. Датчик стоит расположить под потолком, так как угарный газ под действием тепла от источника задымления сначала поднимается вверх.

Датчик присутствия будет расположен так, чтобы линза Френеля охватывала большую часть двора. Так как датчик будет расположен на улице, то для него стоит предусмотреть отдельный навес, или расположить его под уже имеющимся навесом.



Рисунок 4.1 – план-схема расположения блоков на участке

Подключение элементов к плате осуществляется согласно описанию датчиков и актуаторов в разделе 2 данной работы (рисунки 4.2 и 4.3).

Питание насоса подается от электрощитка, расположенного на доме. Для предупреждения случаев короткого замыкания подключение реле в разрыв фазы насоса расположено в теплице, в корпусе, рассмотренном ранее.

Питание модулей осуществляется с помощью подзаряжаемых батарей (PowerBank). При дальнейшем развитии модели можно использовать солнечные батареи, расположенные на крыше жилого помещения и теплицы.

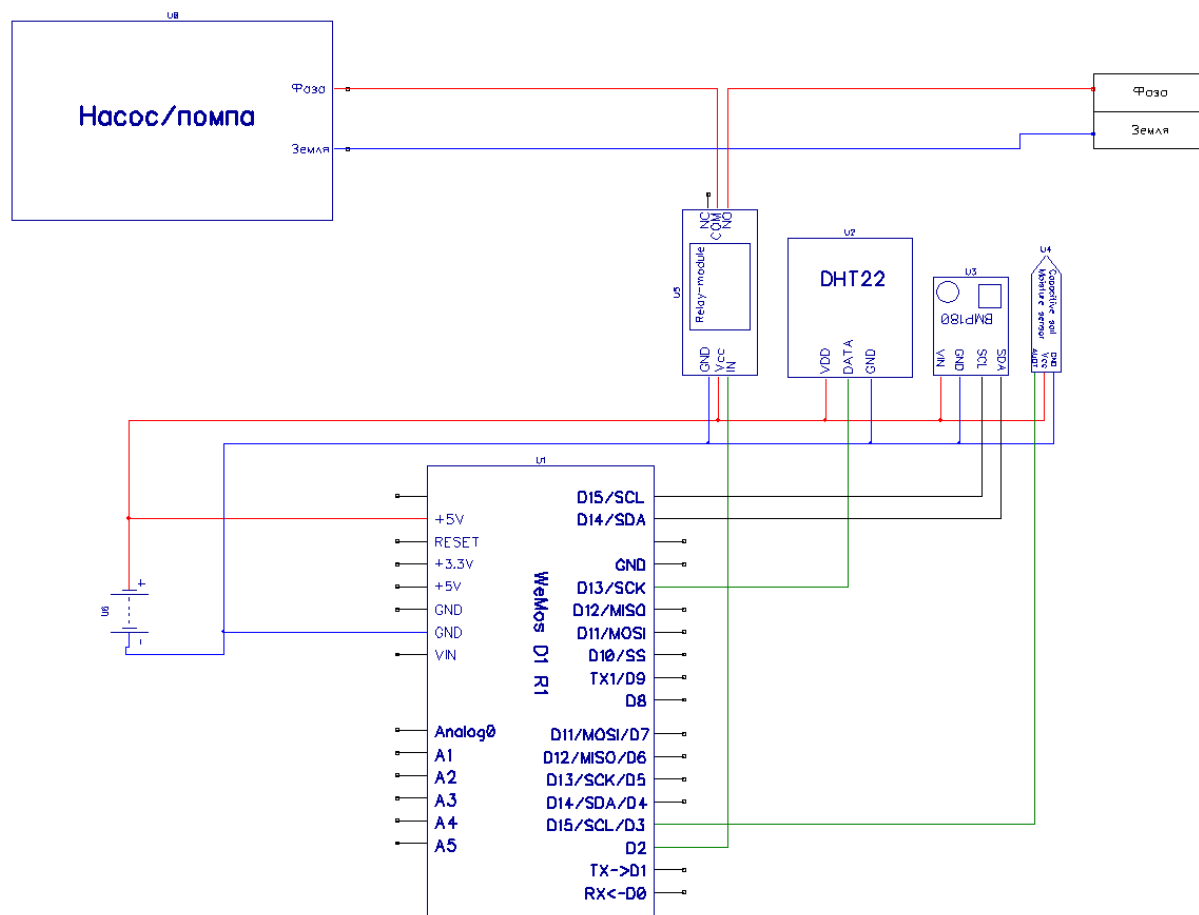


Рисунок 4.2 – схема подключения модулей в тепличном блоке

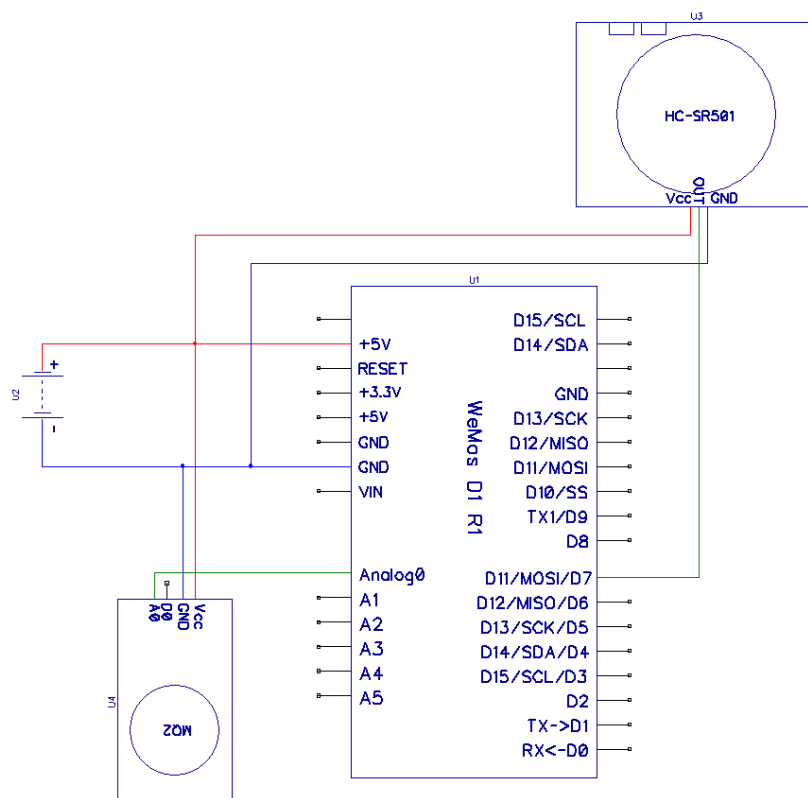


Рисунок 4.3 – схема подключения модулей в блоке жилого помещения

## 4.2. Обмен данными в системе

В пункте 3 данной работы были рассмотрены три различных способа организации локальной сети на платах ESP8266. Для заданной аналитической модели наиболее подходящим способом организации данных между платами будет использование протокола ESP-NOW. Выбор обусловлен по следующим критериям: во-первых, в модели используется только две платы, что отбрасывает вариант использования ESP-MASH сети, которую используют для более сложных проектов, во-вторых, в модели считается, что весь участок попадает в зону покрытия Wi-Fi сети, поэтому использовать протокол LoRaWAN так же нецелесообразно, так как расстояния между платами составляет десятки метров.

В качестве сервера для хранения данных и отображения их на смартфоне рассмотрим сервис, направленный на проекты Интернета вещей, Blynk.

Данный сервис предоставляет пользователям удобный интерфейс и множество инструментов для создания визуального приложения для IoT устройств.

Передача данных осуществляется посредством API ключей, для идентификации устройства на сервере.

В результате схема обмена данных будет выглядеть как двухсторонняя передача данных между несколькими блоками модели (рисунок 4.4).

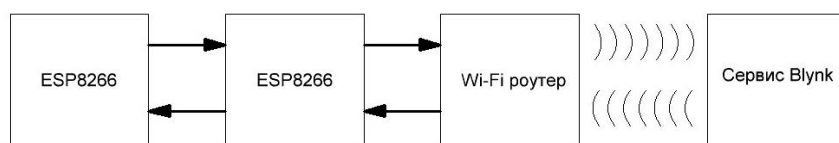


Рисунок 4.4 – схема передачи данных в модели

Сначала происходит обмен данными между платами по протоколу ESP-NOW (обмен данными представлен в приложениях А и Б в блоках 6), затем, данные с основной платы передаются на Wi-Fi роутер, откуда по протоколу TCP/IP данные отсылаются на сервис Blynk. Для реле-модуля в модели предусмотрен отдельный механизм передачи данных: после отправки данных на сервис происходит мониторинг виртуальной кнопки на сервисе, если ее



значение изменилось, то Blynk отправляет на устройство текущее значение кнопки, далее это значение записывается в сообщение на плату, обмен данных которой происходит с роутером, и сообщение посылается на плату, установленную в теплице, и в зависимости от полученного значения реле замыкается или размыкается.

На сервисе Blynk с помощью заданных инструментов можно выставить нужные формы для принятия и отправления данных (рисунок 4.5). В настройках приложения выставляются виртуальные каналы с номерами потоков данных (V0, V5-V10). Для рассматриваемой модели используем каналы для выводов дробных значений (V5-V9), канал-индикатор (выводит 1 или 0 в зависимости от получаемого значения, V10), и канал-кнопку, для управления реле V0 (рисунок N).

Передача данных на каналы представлена в приложении Б в блоках 7 и 8.

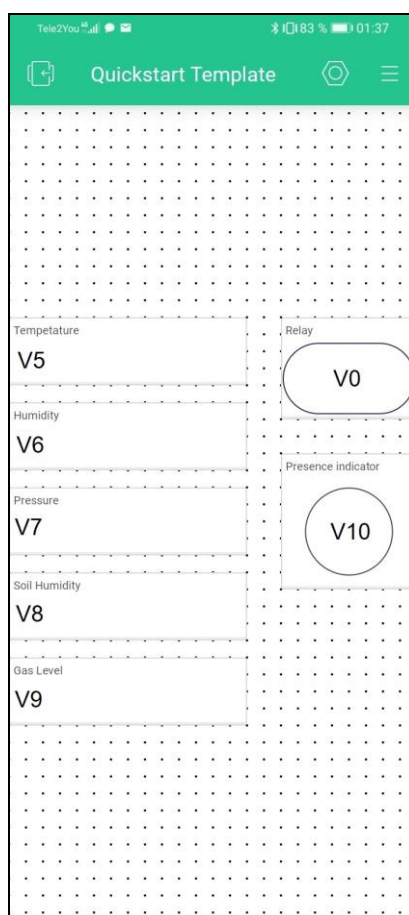


Рисунок 4.5 – интерфейс настроек приложения

После сохранения настроек приложение на сервисе Blynk будет выглядеть так, как представлено на рисунке 4.6.

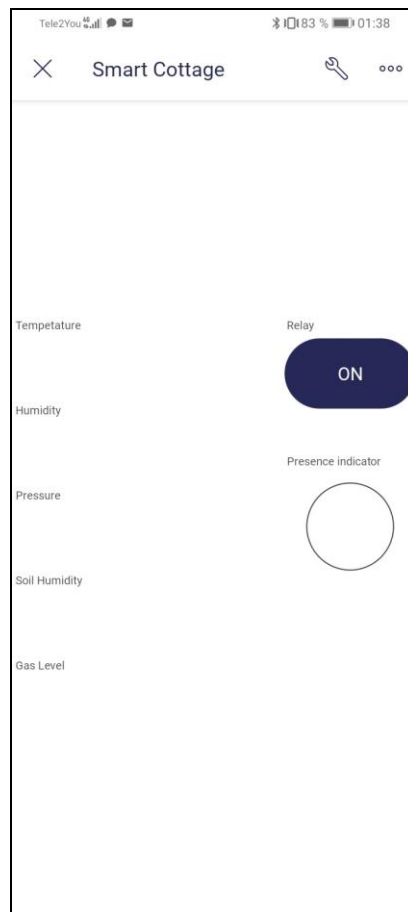


Рисунок 4.6 – вид приложения Vlynk для модели устройства

## **5. Моделирование системы с использованием протокола ZigBee**

### **5.1. Аппаратная часть системы**

При рассмотрении способа построения сети домашней автоматизации с использованием протокола Zigbee наиболее распространенными вариантами для прототипирования zigbee-устройств на рынке являются arduino-совместимые модули XBee и микросхемы серии CC2530. Модули XBee и CC2530 - это два различных решения для беспроводной связи, которые используются для обеспечения связи между устройствами на расстоянии.

Основное отличие между этими модулями заключается в их архитектуре и функциональных возможностях. Модуль XBee обладает простым интерфейсом и легко интегрируется в различные проекты, что делает его популярным среди инженеров и разработчиков.

Модуль CC2530 обладает более широким спектром функциональных возможностей, таких как поддержка многих протоколов связи, аппаратное шифрование данных и более высокая производительность.

Радиомодули XBee компании Digi относятся к классу ZigBee-модулей с уже предустановленным программным обеспечением, благодаря которому значительно сокращаются сроки разработки конечного изделия и упрощается процесс передачи данных. При этом предполагается, что модуль, в большинстве случаев, работает под управлением внешнего хост-процессора. В то же время производитель допускает загрузку в модуль собственного приложения пользователя, которое при этом должно самостоятельно взаимодействовать со стеком ZigBee, подключаемым на этапе компиляции программы. Модули XBee могут применяться в двух вариантах: без подключения к микроконтроллеру и с подключением.

В случае без подключения к микроконтроллеру модуль может работать с внешними датчиками (с выводом данных как в аналоговом виде, так и выходом с двумя состояниями). Для этого на модуле предусмотрены 4 аналоговых и 12 цифровых портов, а также два 10-битных ШИМ вывода. XBee напрямую сопрягается с устройствами через UART-интерфейс, чем обеспечивается прошивка устройства и установка режимов работы. В случае работы совместно с микроконтроллером модуль обменивается данными

через UART интерфейс, который задействует только два цифровых входа, что позволяет делать универсальные устройства без жесткой привязки к количеству задействованных контактов модуля.

Так же как и с XBee модуль можно использовать, как подключая к микроконтроллеру, так и обособленно от него. На модуле присутствуют 12 цифровых контактов ввода/вывода данных, 8 аналоговых входов специальные контакты для UART интерфейса.

Сравнивая эти решения между собой можно однозначно сказать, что модуль XBee технически удобнее модуля E18-MS1 из-за преимуществ в интеграции в проекты, но это преимущество сильно отражается в цене, которая в десятки раз выше, чем цена на модуль E18-MS1. Поэтому в основу проекта будет взят модуль E18-MS1 в пользу его доступности.

## **5.2. Серверная часть системы**

Для предупреждения случаев окончания обслуживания серверов специализированных сервисов Интернета вещей, на которых хранятся данные с личной IoT системы, целесообразно организовать собственный сервер для обработки и хранения всех данных системы. Это решение позволит иметь доступ к данным в любой момент времени, настроить полностью пользовательский интерфейс, сократить время передачи информации, так как сервер будет базироваться в непосредственной близости от самой системы.

Для реализации данного решения удобно использовать одноплатный компьютер Raspberry Pi 4, так как для содержания сервера не нужны большие вычислительные мощности, а использовать для этих целей полноценный персональный компьютер не выгодно (сервер должен работать постоянно).

Программная часть сервера будет реализована с помощью Home Assistant. Home Assistant (рисунок 5.1) – это программное обеспечение с открытым исходным кодом для домашней автоматизации, поддерживающее устройства разных производителей, обеспечивающее создание сложных сценариев автоматизации с возможностью использования голосовых помощников и визуализацией посредством веб-интерфейса, а также

приложений для мобильных устройств. Для управления устройствами НА использует отдельные компоненты (components) и интеграции (integrations).

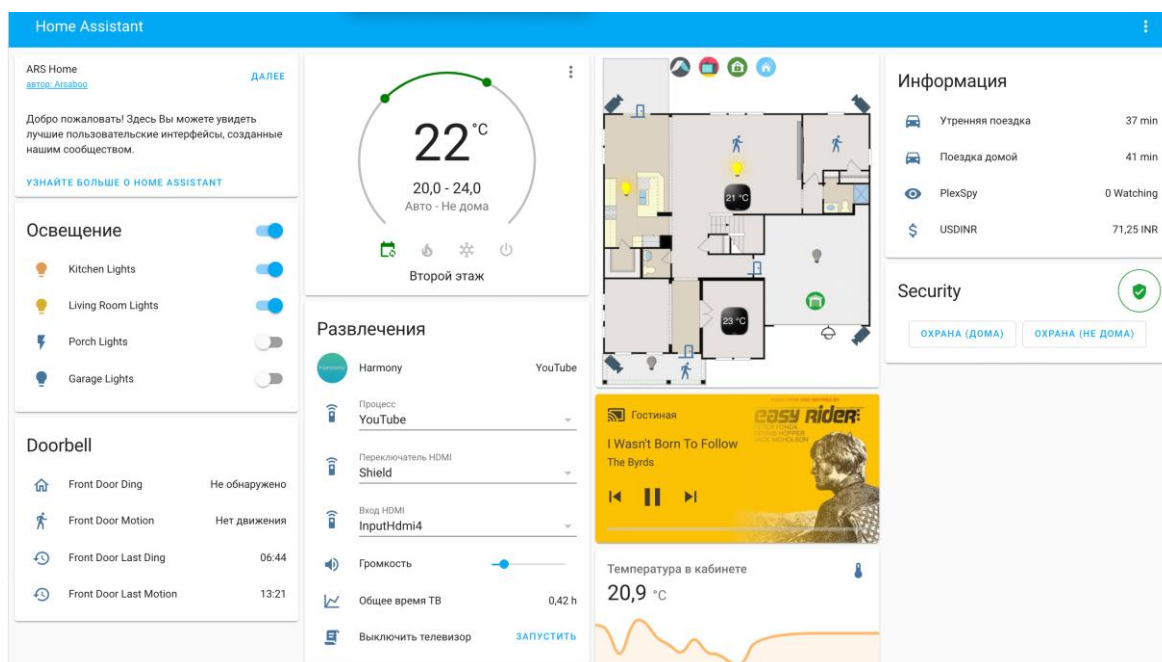


Рисунок 5.1 – интерфейс Home Assistant

Home Assistant поддерживает большое количество «аддонов» – готовых интерфейсов для обеспечения обмена данными устройств различных производителей. Аддон zigbe2mqtt позволяет подключить к Home Assistant пользовательские устройства, основанные на модулях линейки CC25xx.

В аддоне zigbee2mqtt необходимо добавить собранные устройства, после подключения и настройки координатора. Добавив устройства можно посмотреть топологию получившейся сети, настроить необходимый интерфейс и прописать специальные сценарии при необходимости.

Также у Home Assistant есть мобильное приложение, доступное как на iOS так и на Android (рисунок 5.2). Подключив Raspberry к Wi-Fi роутеру можно вывести сервер в сеть и следить за состоянием сети удаленно.

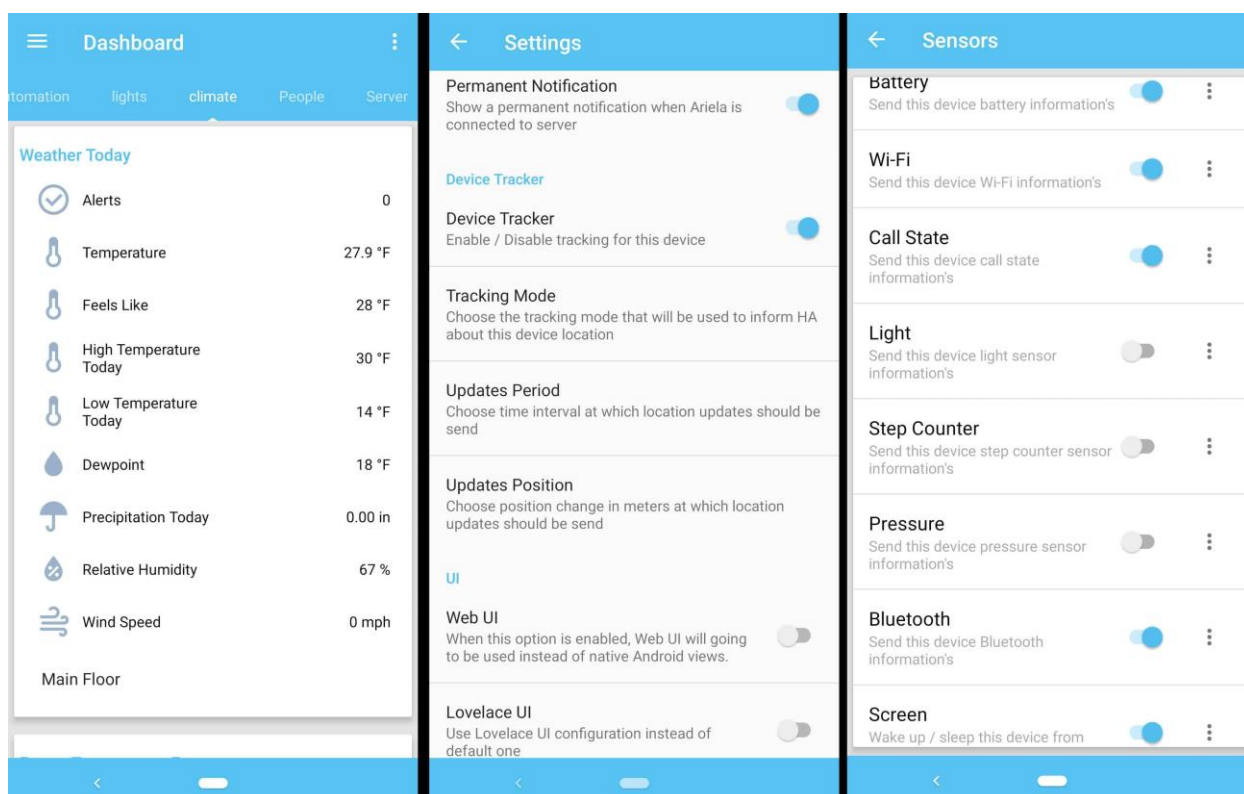


Рисунок 5.2 – интерфейс мобильного приложения Home Assistant

Можно сказать, что в результате изменения топологии сети и создания собственного сервера отказоустойчивость системы увеличилась. Во-первых, при непредвиденном выходе из строя одного из узлов системы, передача данных между блоками не прекратится. Во-вторых, протокол ZigBee предусматривает шифрование AES-128, что исключает случаи взлома сети и утечки данных. Также отказ от использования сторонних серверов защищает от случаев окончания обслуживания серверов их разработчиками.

### **5.3. Обмен данными в системе**

При моделировании данной системы сначала нужно разобраться с топологией разрабатываемой сети. Так как особенностью ZigBee сетей является высокая отказоустойчивость, достигающаяся при помощи перераспределения сети, то есть смысл использовать эту функцию для разработки топологии. В данном случае каждый узел сети будет рассматриваться как маршрутизатор. При использовании MESH топологии упрощается коммутация между отдельными блоками системы, поэтому имеет смысл разнести блоки 7 и 6, представленные на рисунке 4.1, в отдельные узлы.

Также ключевым моментом является использование собственного сервера для обработки и хранения данных взамен использования сторонних сервисов Интернета вещей. Сервер будет установлен на одноплатный компьютер Raspberry Pi 4, а за его основу будет взята система с открытым исходным кодом для организации, автоматизации и управления устройствами умного дома и Интернета вещей Home Assistant. Топология такой сети представлена на рисунке 5.3.

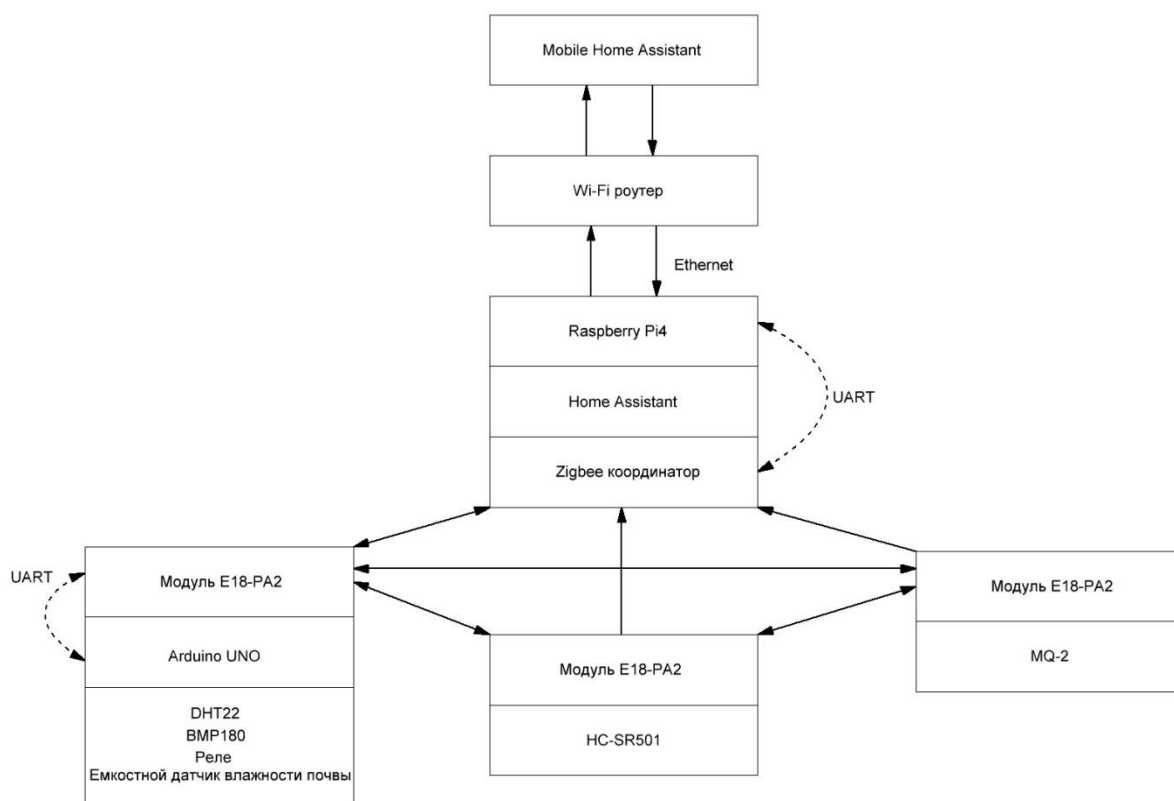


Рисунок 5.3 – схема передачи данных в модели

Расположение блоков на участке останется таким же, как и в пункте 4, за исключением разбитых на два узла блоков с датчиком MQ-2 и датчиком HC-SR501.

## 6. Прототипирование системы «Умная дача»

Для прототипирования была выбрана модель системы с использованием протокола Zigbee. Выбор обусловлен множеством преимуществ, а именно:

1. Протокол Zigbee предусмотрен для устройств с низким энергопотреблением. Это означает, что разрабатываемые устройства на заряде одного гальванического элемента проработают гораздо дольше, чем устройства, базированные на плате WeMos D1 R1. Связано это в первую очередь с высоким энергопотреблением самого микроконтроллера WeMos, а во вторую очередь с режимом энергосбережения плат E18MS1.
2. Существенным преимуществом Zigbee системы является использование собственного сервера для хранения и обработки



данных, так как доступ к данным происходит только внутри системы без вывода их на сторонние сервера. Таким образом предупреждаются случаи прекращения обслуживания сторонних сервисов и случаи проблем с доступом к сторонним серверам.

3. Также технические характеристики по дальности лучше у модуля E18MS1, что обеспечит более большую зону покрытия сети.

### **6.1. Прототипирование устройств**

Важнейшим элементом Zigbee-сети является устройство под названием координатор. Координатор является шлюзом между сервером сети и остальными устройствами, образующими сеть. Возможности модуля E18-MS1 позволяют настроить прошивку модуля под любое устройство, образующее сеть (координатор, маршрутизатор, конечное устройство). Устройство маршрутизатора будет представлять собой сам модуль E18-MS1-PCB и USB UART адаптер (GSMIN PL2303HX USB TTL UART, рисунок 6.1).



Рисунок 6.1 – преобразователь GSMIN PL2303HX USB TTL UART

Конфигурирование модуля E18-MS1-PCB как координатор осуществляется GPIO контактами Raspberry Pi, так как такой способ прошивки исключает использование программатора модулей типа E18-MS1 (CC Debugger). Сам файл прошивки находится в открытом доступе и представляет собой файл формата .hex с программными настройками регистров модуля.

Для удобства конфигурирования и дальнейшего использования схем были разведены печатные платы в САПРе Altium Designer. На всех платах была предусмотрена возможность прошивки устройств (вход DEBUG). На плате координатора сети выведены отдельные контакты для дальнейшего подключение к адаптеру USB UART. Схема устройства и разведенная плата представлены ниже (рисунки 6.2, 6.3, 6.4).

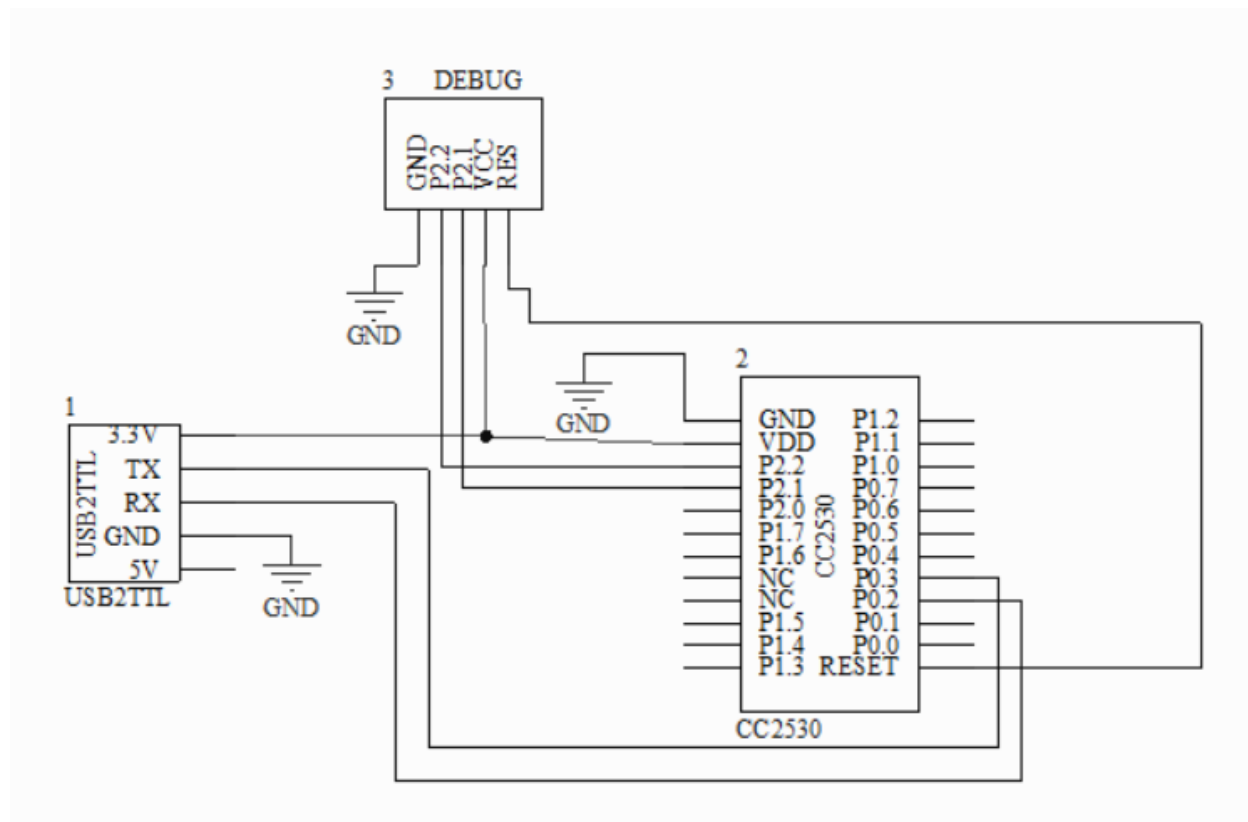


Рисунок 6.2 – схема соединения модулей координатора

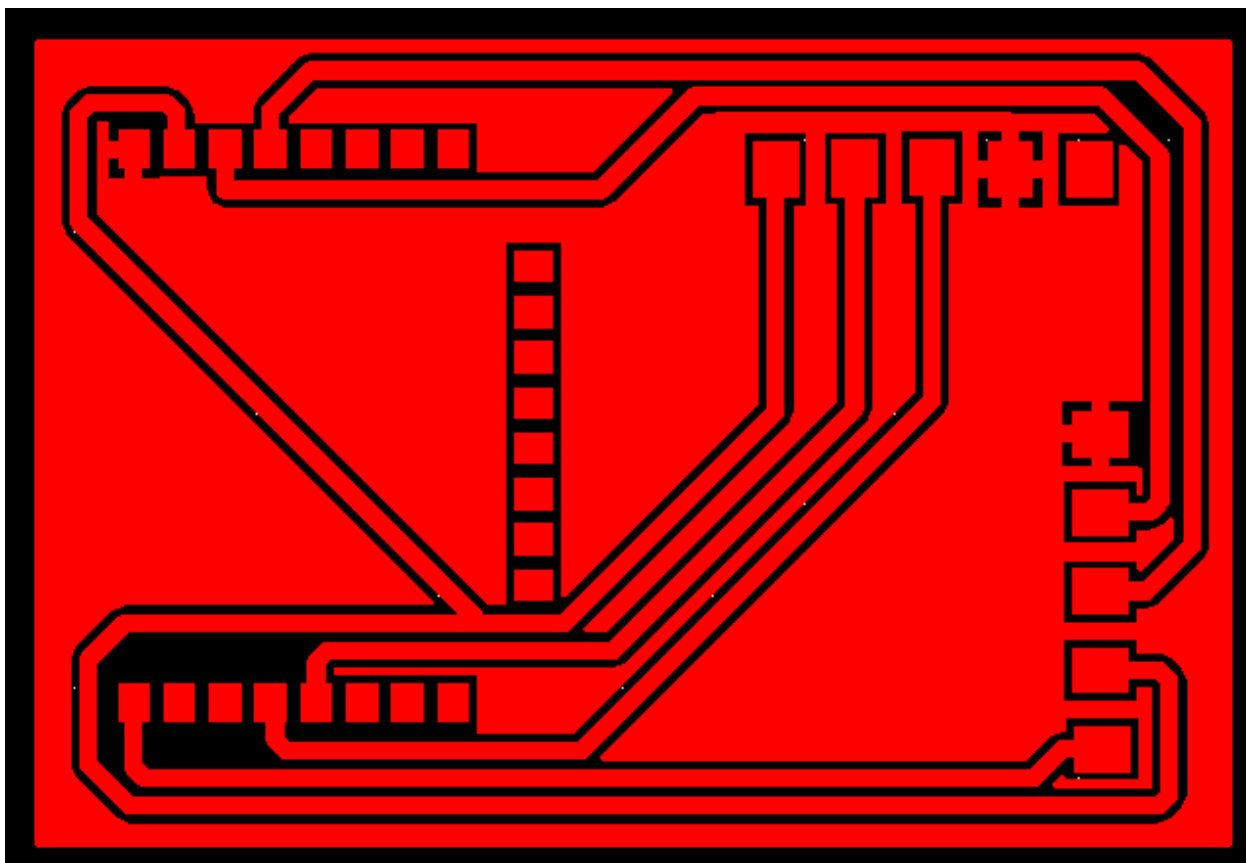


Рисунок 6.3 – Gerber-файл платы координатора

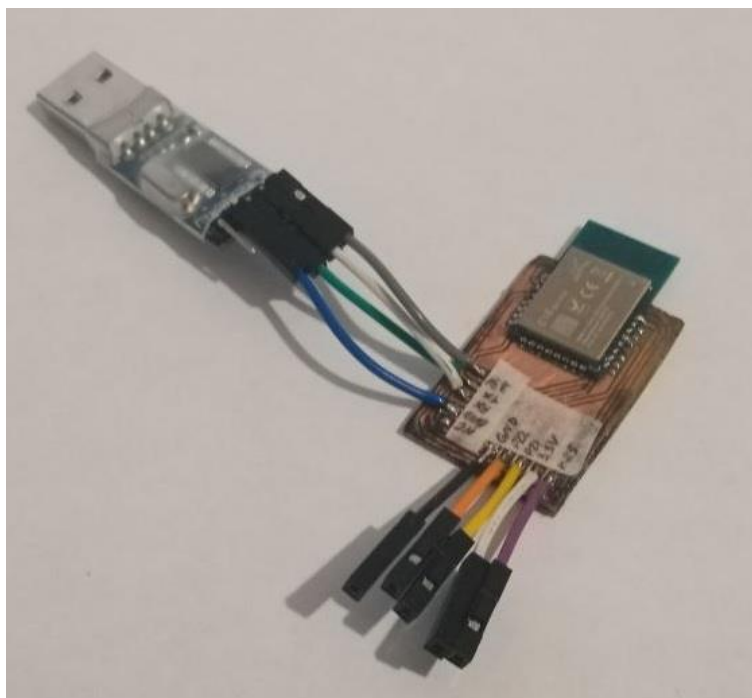


Рисунок 6.4 – Прототип платы координатора

После конфигурирования и сбора схемы устройство подключается по USB к Raspberry Pi 4 с предустановленным Home Assistant и распознается как координатор сети.

Схема соединения модулей E18-MS1PA2-PCB и MQ-2 представлена на рисунке 6.5. Здесь для передачи данных в Zigbee-сеть задействован один из цифровых входов. Так как датчик MQ2 питается и выдает на цифровом выходе напряжение в 5 вольт, а модуль E18MS1-PCB питается и принимает напряжение 3.3 вольта, были разведены схемы согласования напряжений в виде Step-Down преобразователя LM3671MF (рисунки 6.6, 6.7).

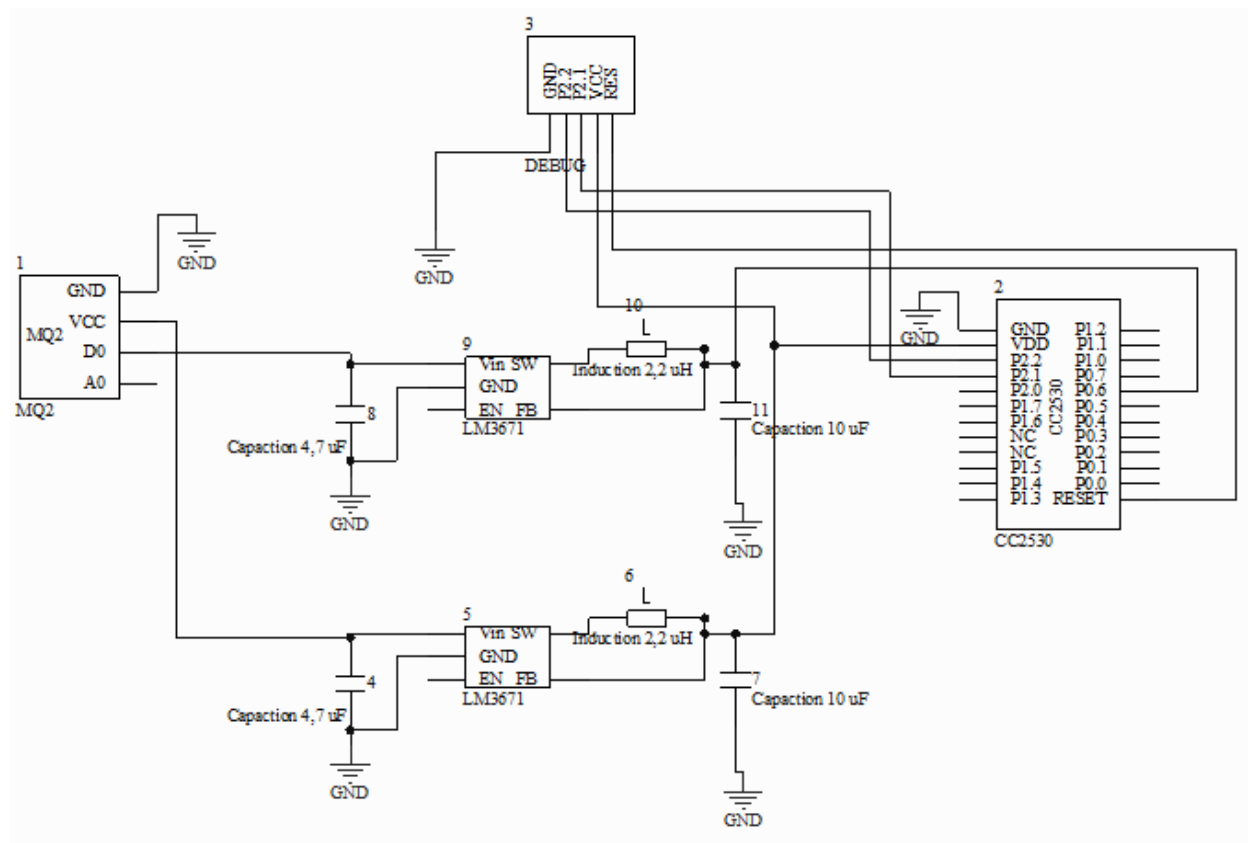


Рисунок 6.5 – схема подключения модулей датчика задымления

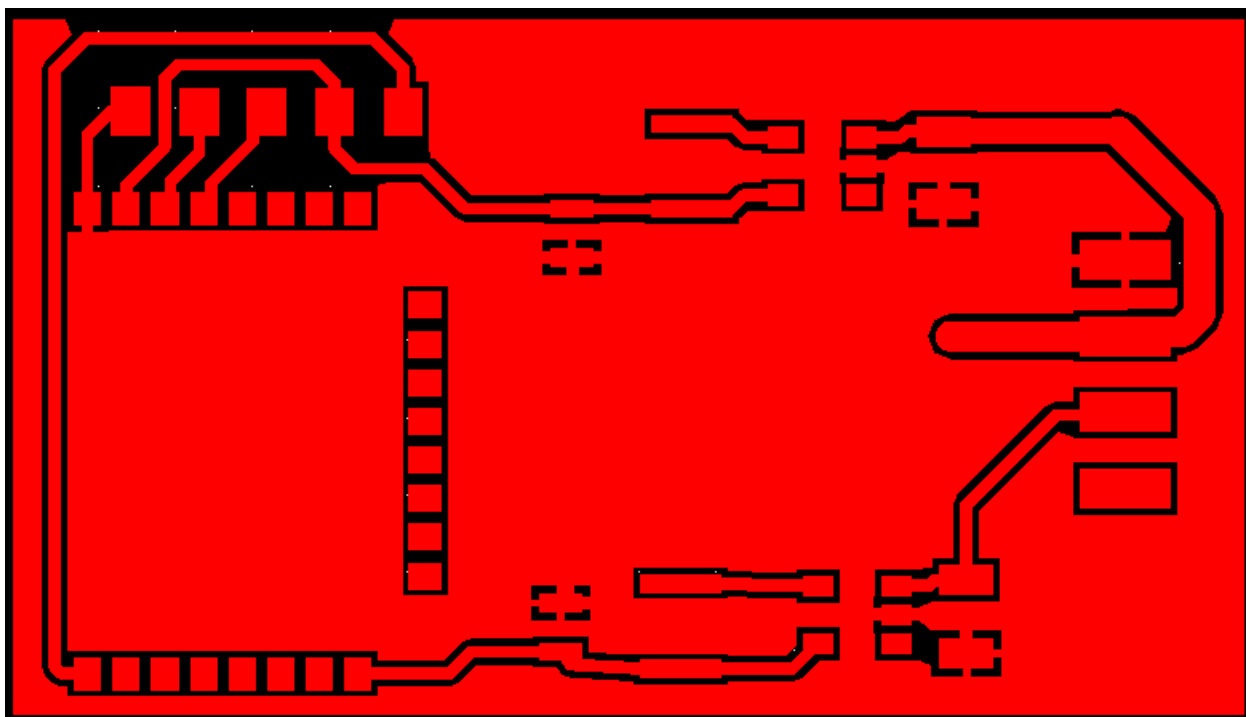


Рисунок 6.6 – Gerber-файл платы датчика задымления

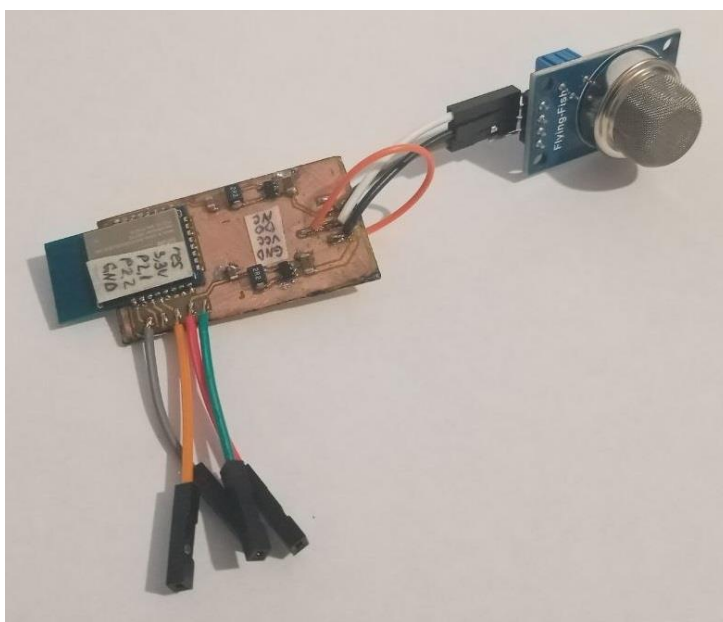


Рисунок 6.7 – прототип датчика задымления

Питание схемы осуществляется гальваническим элементом, причем потребление схемы в активном режиме составляет 29 мА, а в режиме ожидания 1 мкА, что говорит о долгосрочном использовании устройства. Переход из режима ожидания в активный прописывается в прошивке модуля E18-MS1PA2-PCB.

Конфигурирование модуля происходит так же, как и в случае с конфигурированием координатора – посредством прошивки через Raspberry Pi 4. Но настройка устройства и формирование .hex файла прошивки задается

программой с открытым исходным кодом PTVO Firmware configuration. В программе задаются: роль устройства в сети, назначение контактов модуля и условие перехода в активный режим. Для датчика задымления параметры будут следующие: роль устройства – роутер, контакт, с которого снимаются данные – P0.6, контакт задается аналоговым входом, условие перехода в активный режим (условие для передачи данных) – повышение напряжения на контакте (рисунок 6.8). Также в программе можно задать идентификатор для определения устройства в сети, установить интервал передачи данных в сеть и создать файл конфигурации формата .js для сервера (рисунок 6.9).

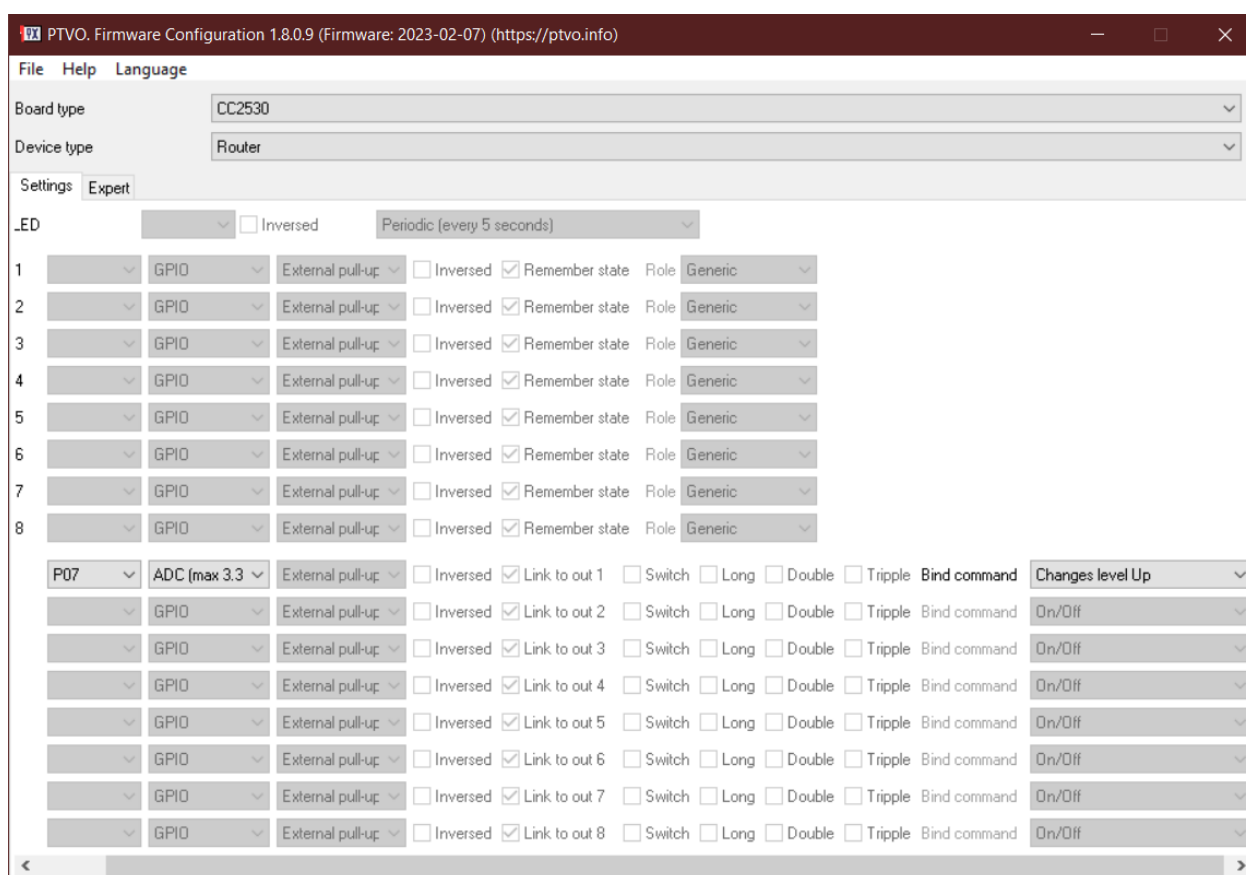


Рисунок 6.8 – конфигурирование датчика задымления

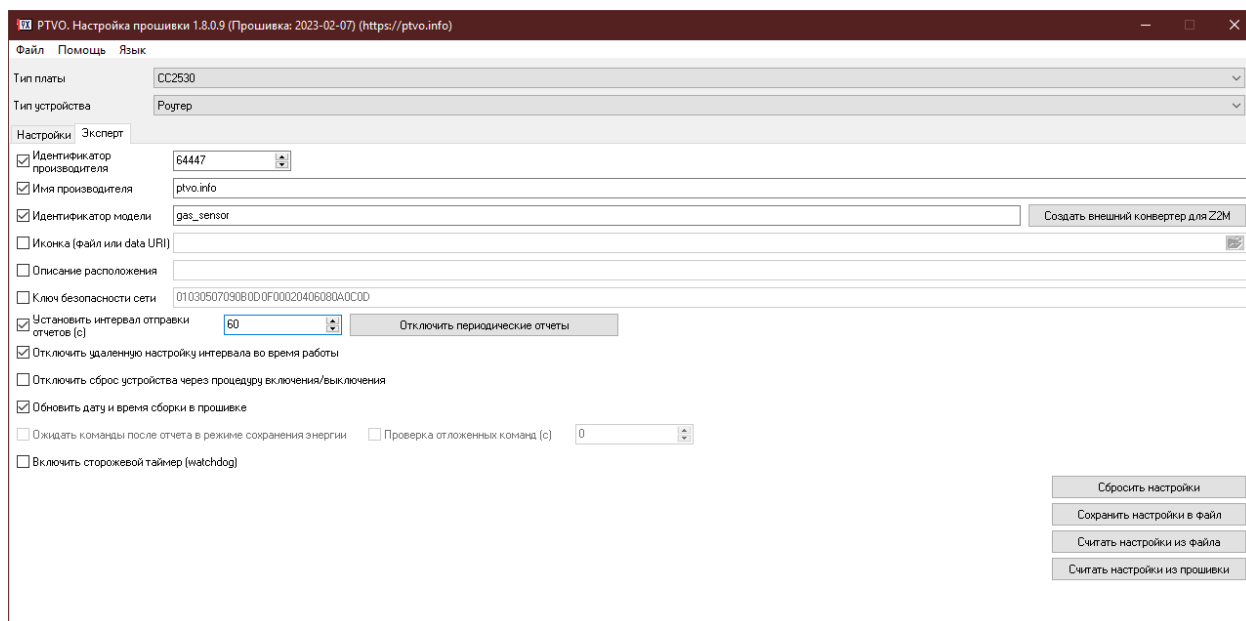


Рисунок 6.9 – конфигурирование датчика задымления

После настройки конфигурации создается файл формата .hex и загружается в модуль.

Схема соединения модулей E18-MS1PA2-PCB и HC-SR501 представлена на рисунке 6.10. Здесь для передачи данных в Zigbee-сеть задействован один из цифровых входов с напряжением логической единицы 3.3 вольта. Также была разведена схема согласования напряжения для питания датчика и трансивера (рисунки 6.11, 6.12).

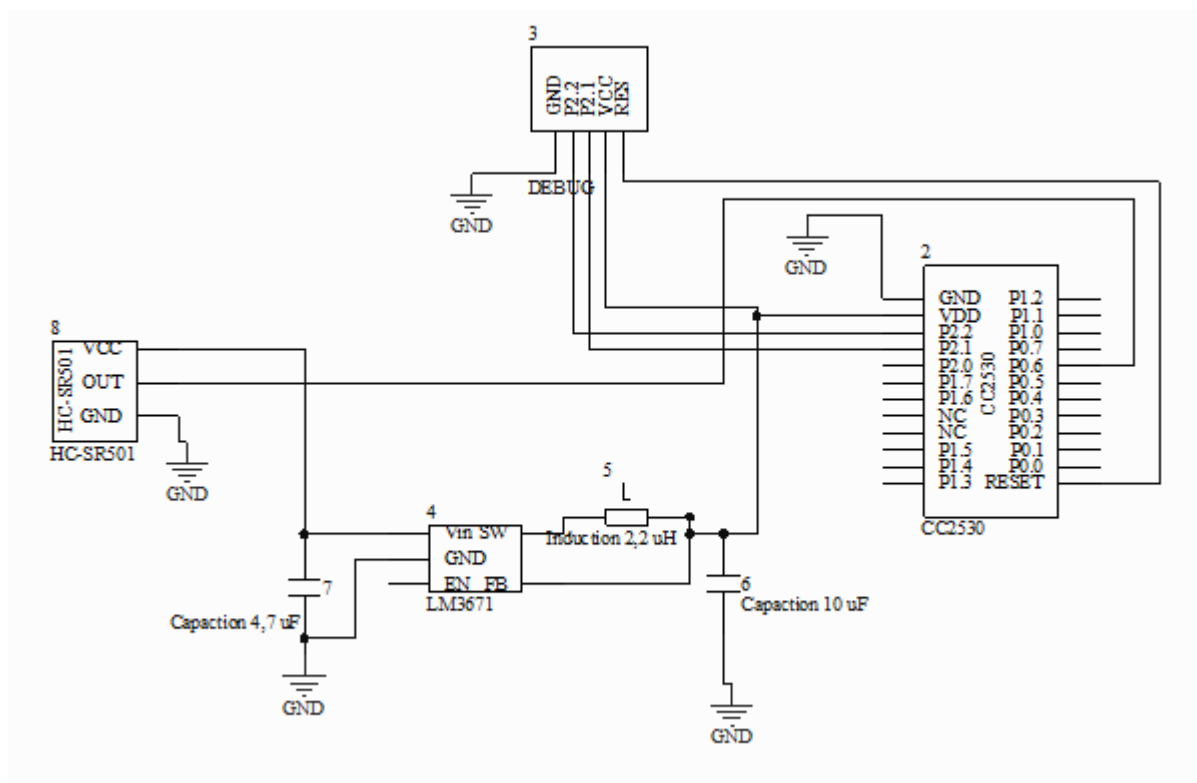


Рисунок 6.10 – схема подключения модулей датчика движения

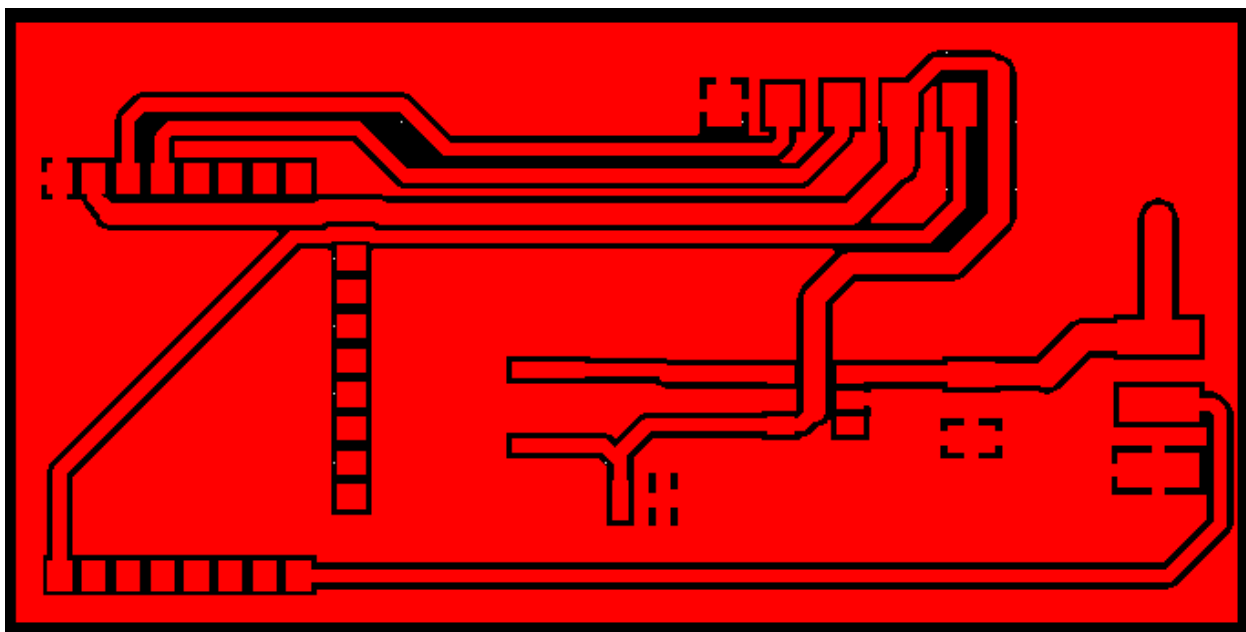


Рисунок 6.11 – Gerber-файл платы датчика движения

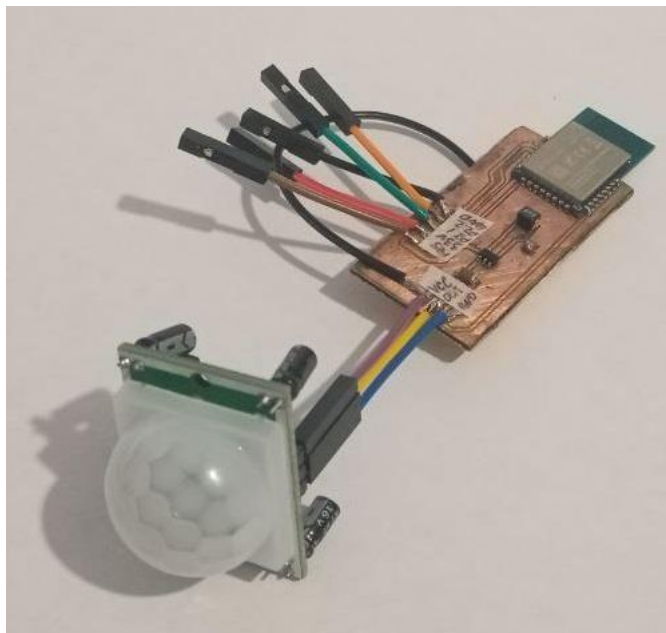


Рисунок 6.12 – Прототип датчика движения

Параметры конфигурирования для датчика движения: роль устройства – роутер, контакт, с которого снимаются данные – P0.6, контакт задается цифровым входом, условие перехода в активный режим – смена логического напряжения на контакте (рисунки 6.13, 6.14).



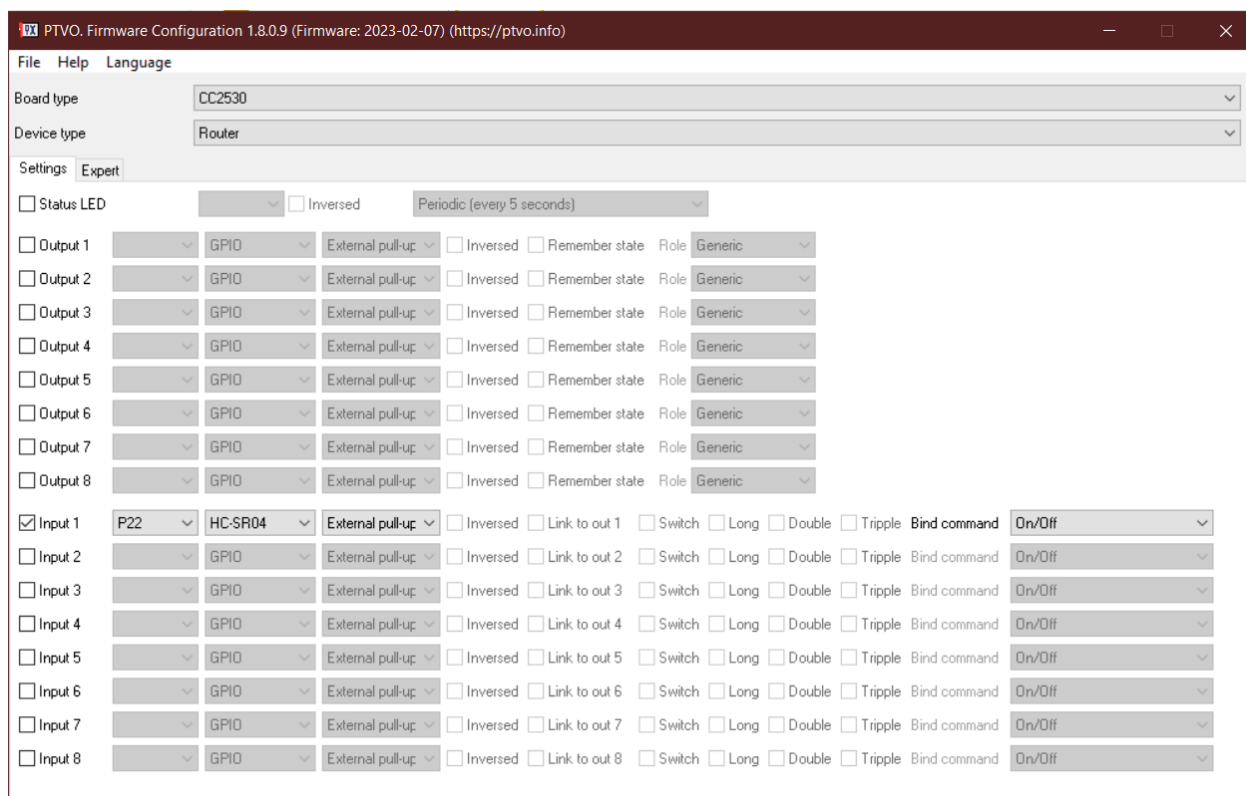


Рисунок 6.13 – конфигурирование датчика движения

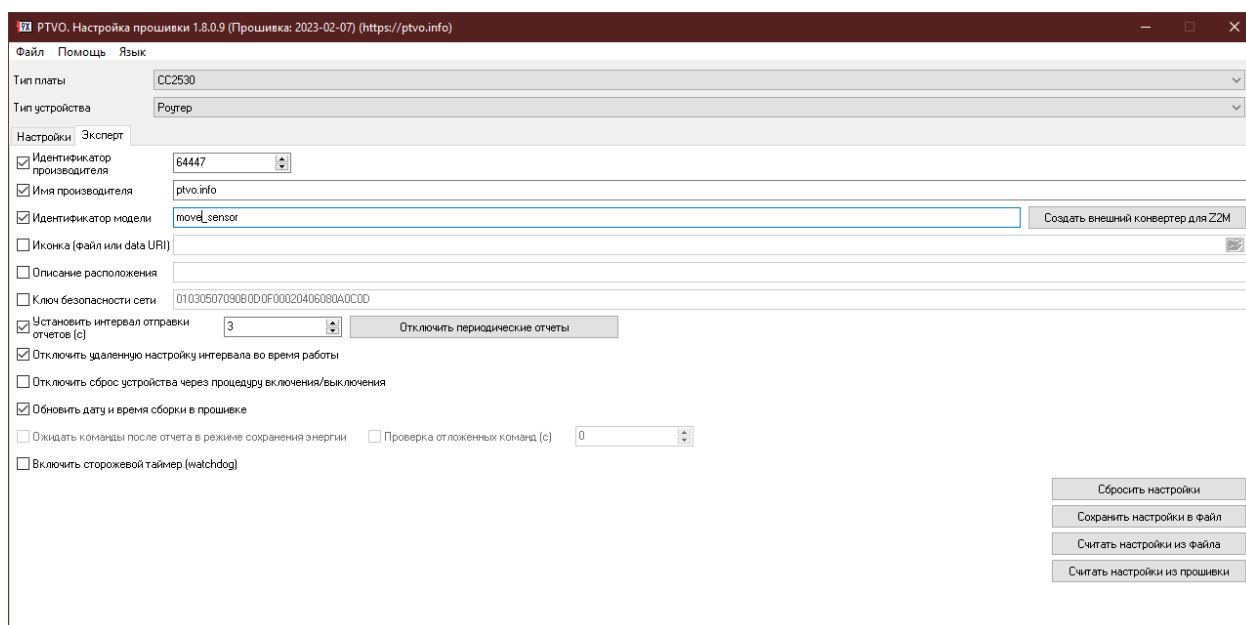


Рисунок 6.14 – конфигурирование датчика движения

На модуле E18-MS1PA2-PCB присутствует UART интерфейс. Это позволяет подключить модуль к микроконтроллеру Arduino UNO и обеспечить одновременное использование нескольких датчиков и актуаторов в одном устройстве, не нагружая встроенный микроконтроллер модуля.

Подключение датчиков и актуаторов (реле, емкостной датчик влажности, DHT22, BMP180) к Arduino происходит аналогично пункту 4.1 в

соответствии с их интерфейсами (раздел 2). Модуль E18-MS1PA2-PCB подключается к контактам RX и TX микроконтроллера (рисунок 6.15).

В соответствии с техническими характеристиками Arduino UNO, контакты UART интерфейса работают с напряжением в 5 вольт, поэтому на плате предусмотрен двусторонний преобразователь логических уровней (рисунки 6.16, 6.17).

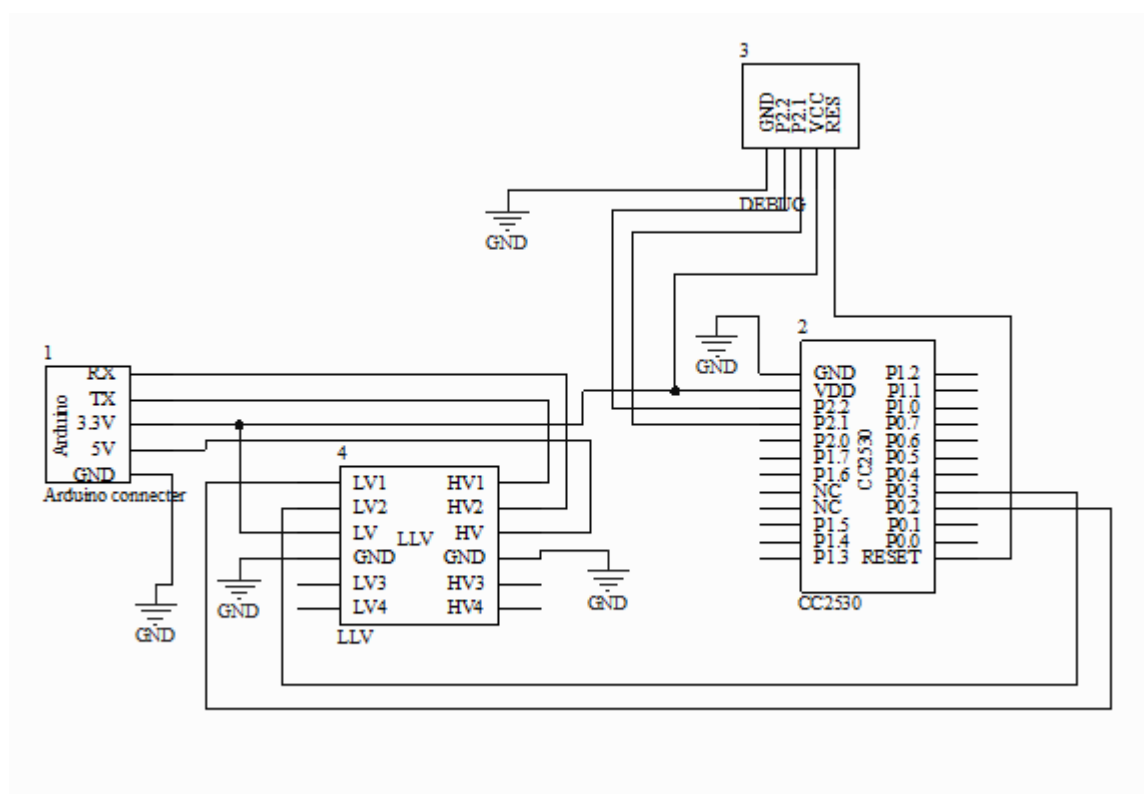


Рисунок 6.15 – схема подключения модулей многофункционального датчика

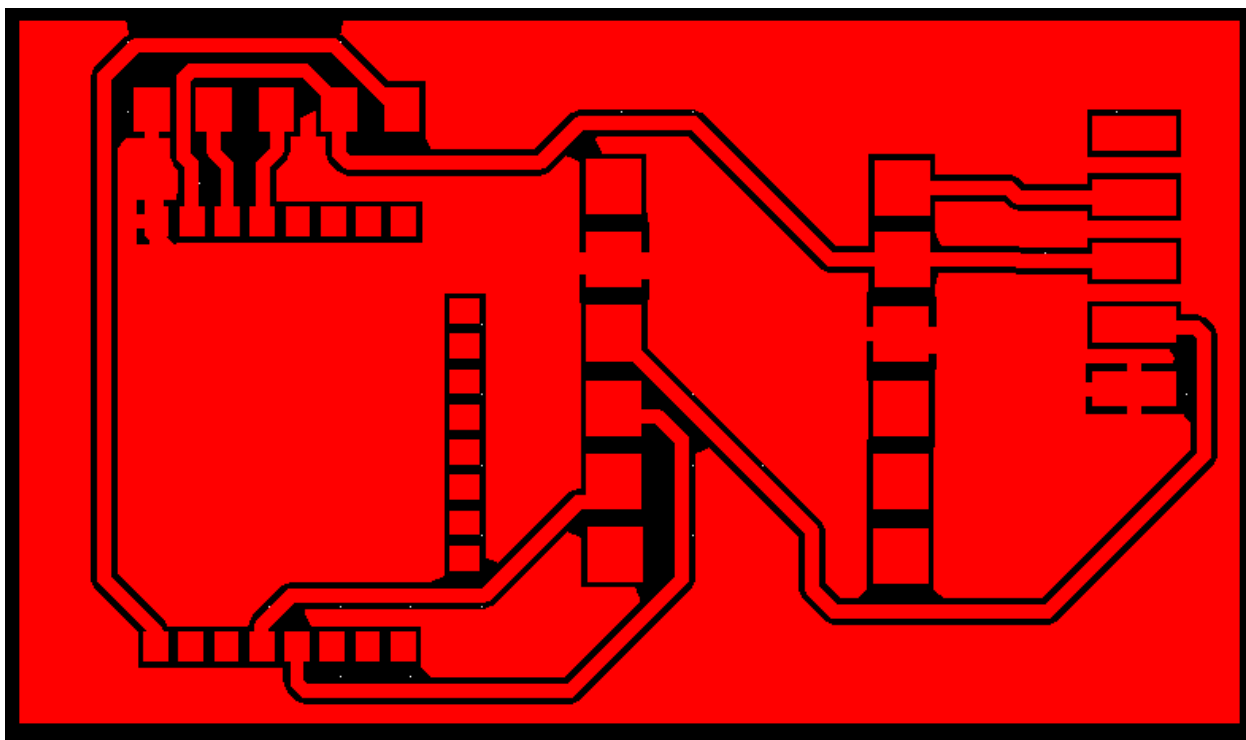


Рисунок 6.16 – Gerber-файл платы многофункционального датчика

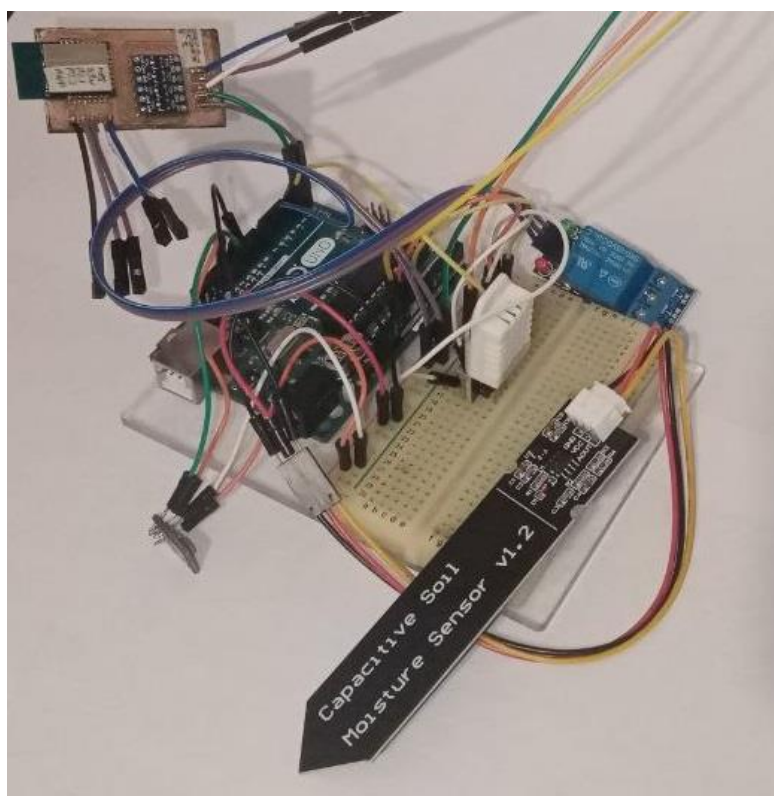


Рисунок 6.17 – прототип многофункционального датчика

Обмен данными между Arduino и E18-MS1PA2-PCB происходит через UART, что означает передачу данных посредством текстовых или шестнадцатеричных команд. Для модуля максимальный размер блока составляет 127 байт, что достаточно для формирования сообщения с данными с датчиков. При конфигурировании устройства конец сообщения

можно задать настраиваемым байтом окончания пакета или конечным значением передаваемых байт (рисунки 6.18, 6.19).

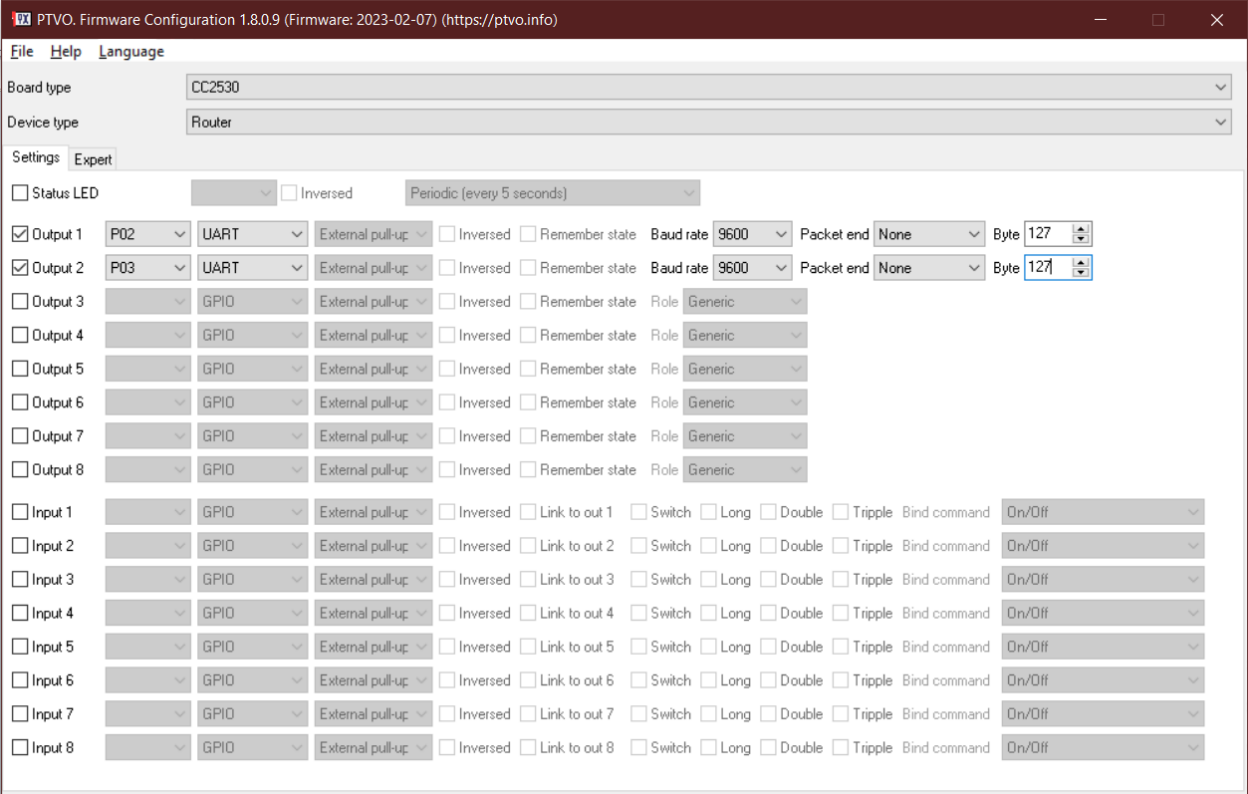


Рисунок 6.18 – конфигурирование многофункционального датчика

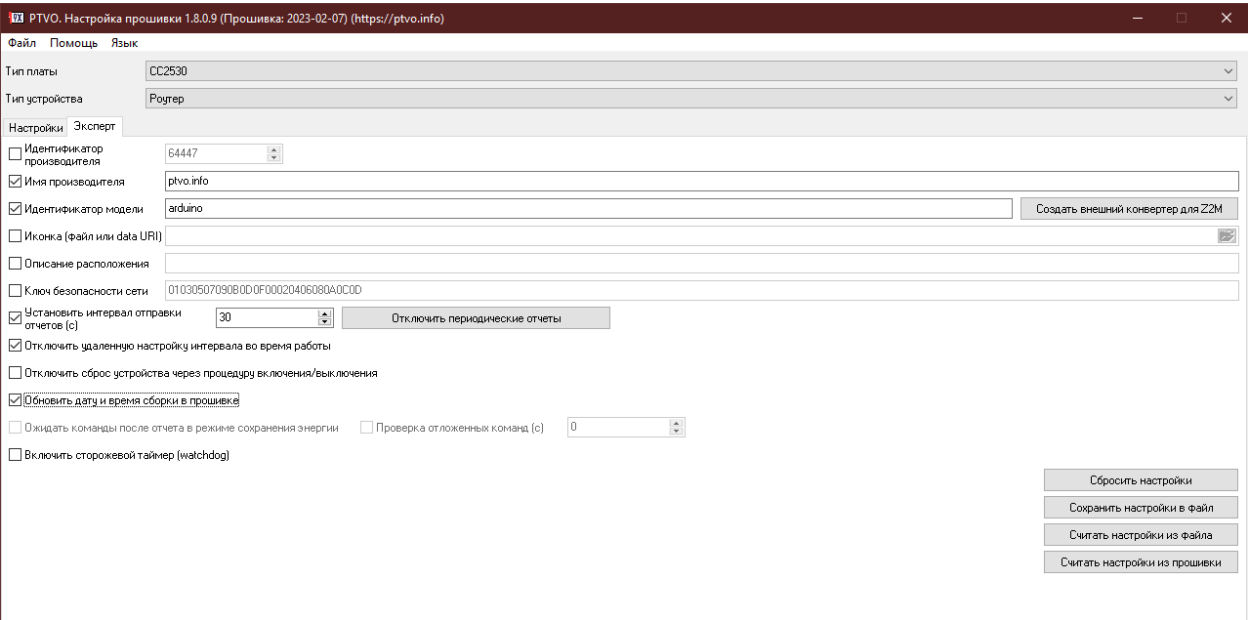


Рисунок 6.19 – конфигурирование многофункционального датчика

В программной части устройства (прошивке Arduino) передача данных осуществляется посредством приема-передачи данных в «Serial» с помощью специальных команд (Приложение В). Сигнал о включении/выключении реле обрабатывается путем прослушивания Serial-канала.

Все платы были изготовлены методом вытравления меди из стеклотекстолита специальным раствором. Чтобы предотвратить вероятность короткого замыкания на токопроводящих элементах, платы были покрыты техническим лаком. Такой способ прототипирования устройств позволяет делать вариации плат для последующего улучшения схем и конструкций (так как процесс изготовления печатной платы не ресурсозатратный и не занимает много времени), и при этом обеспечивает жесткое крепление элементов на плате, в отличие от способа прототипирования на макетной плате.

## 6.2. Прототипирование сервера

Роль сервера в системе выполняет Raspberry Pi 4 с предустановленной операционной системой Home Assistant. Home Assistant – это официальное программное обеспечение с открытым исходным кодом, образ которого можно скачать на сайте Raspberry Pi. Скачанный образ записывается на SD-карту и устанавливается в Raspberry Pi 4. Предустановка сервера на этом этапе заканчивается, далее необходимо его настроить.

Raspberry Pi по Ethernet подключается к Wi-Fi роутеру для доступа к графическому интерфейсу Home Assistant в локальной сети. С Home Assistant можно связаться с любого устройства внутри локальной сети через браузер, введя <http://homeassistant.local:8123> (рисунок 6.20).

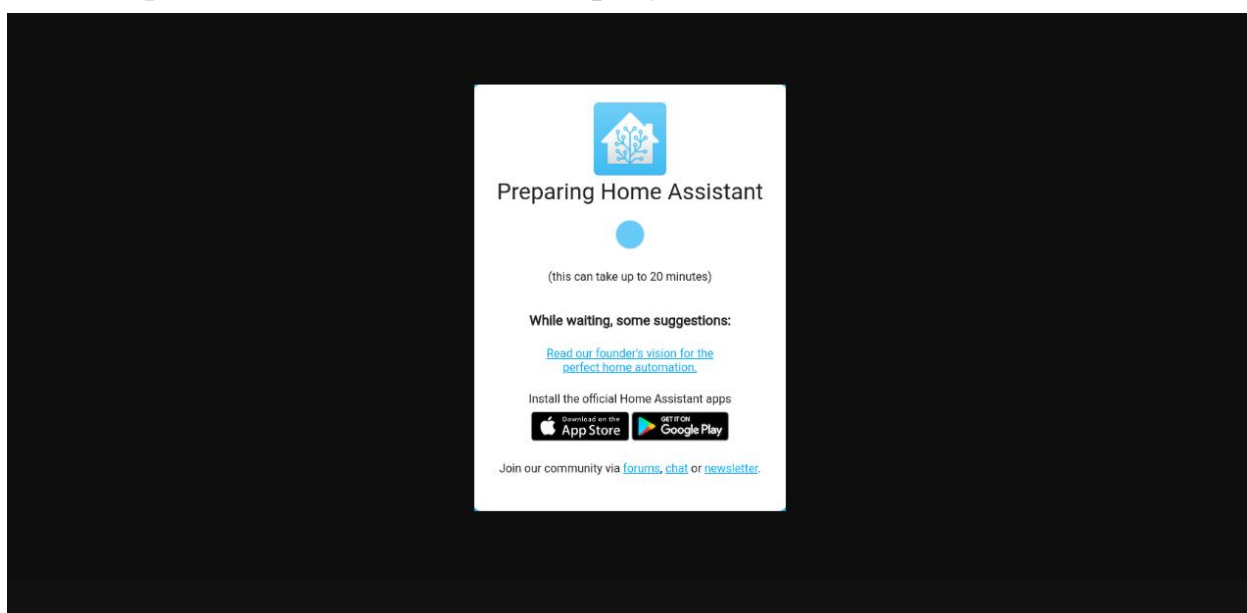


Рисунок 6.20 – страница загрузки Home Assistant

После загрузки сервера Home Assistant первым делом предложит создать учетную запись (рисунок 6.21).

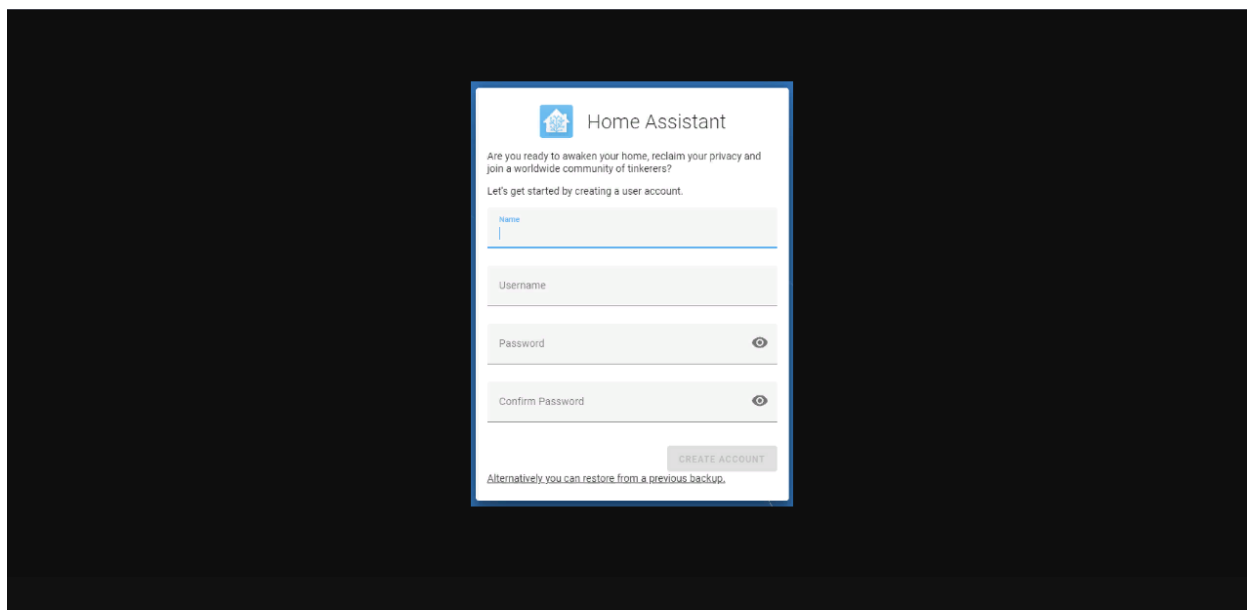


Рисунок 6.21 – страница создания учетной записи Home Assistant

После настройки местоположения, часового пояса, настройки аналитики и режима доступа сервер Home Assistant переходит в рабочее состояние (рисунок 6.22).

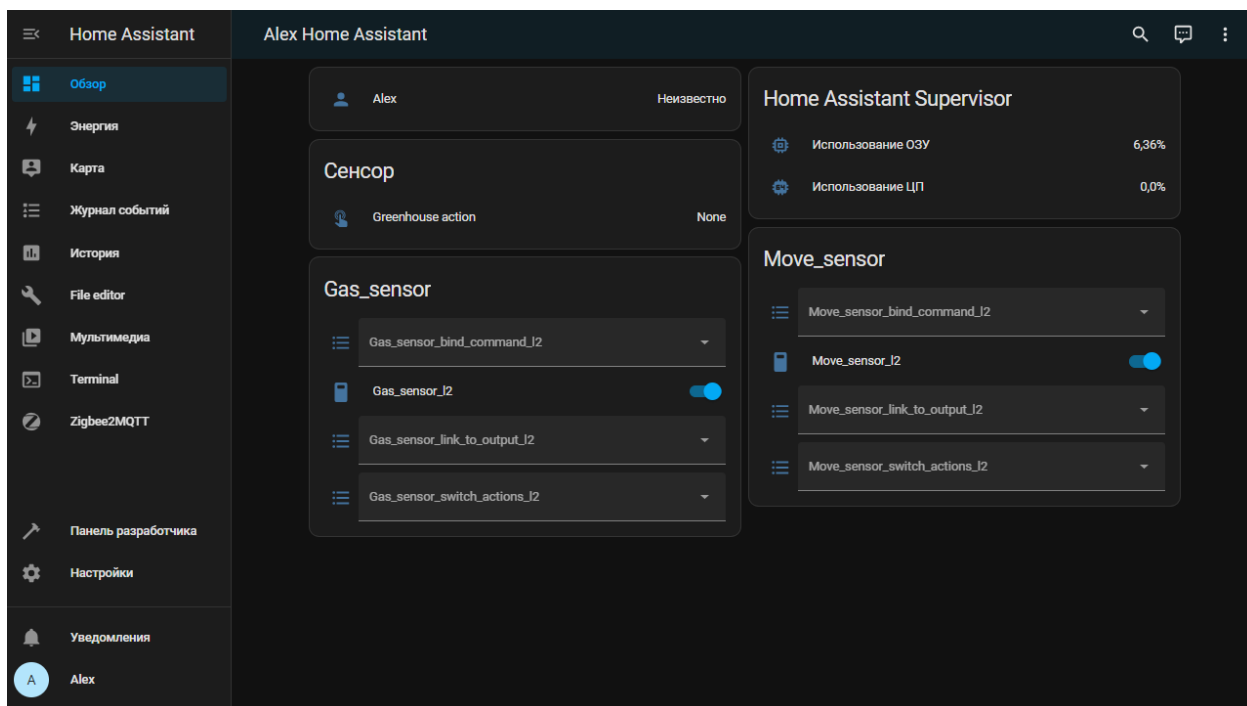


Рисунок 6.22 – главная страница сервера

Далее необходимо настроить обмен данными по Zigbee в системе. В первую очередь необходимо установить MQTT брокер для хранения данных.

Самый популярный MQTT брокер в системах домашней автоматизации – Mosquitto, он доступен в дополнениях Home Assistant (рисунок 6.23).

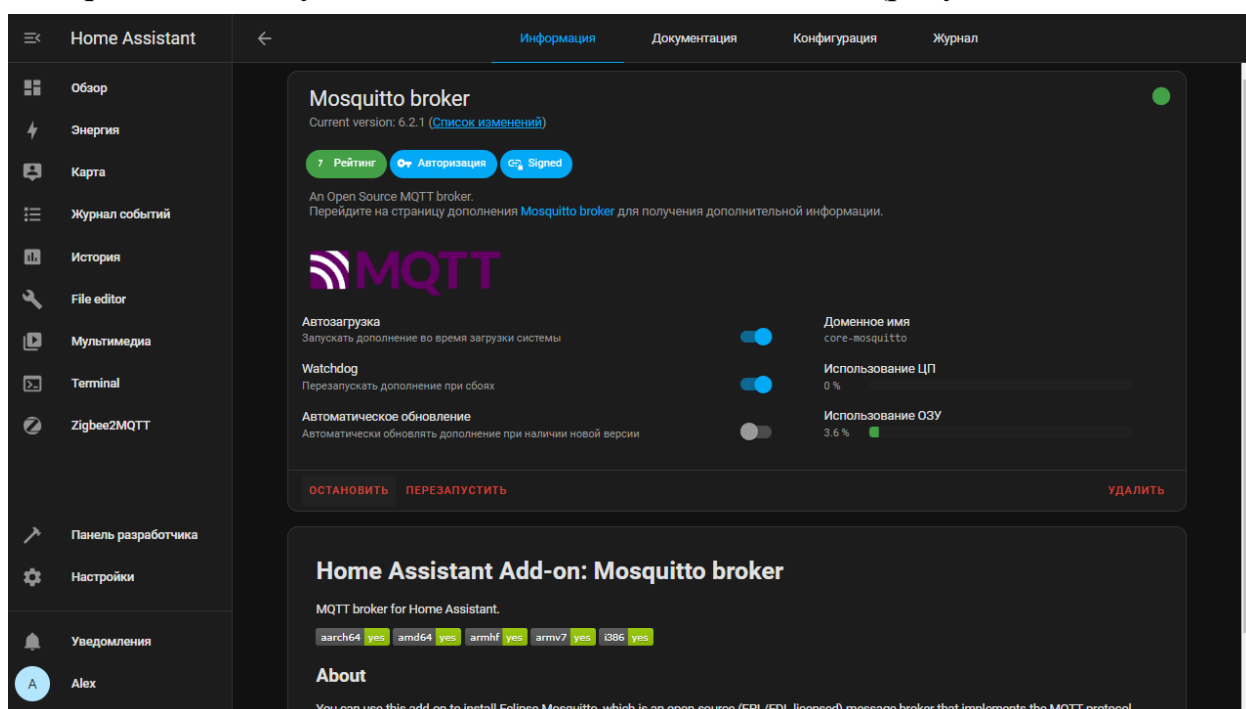


Рисунок 6.23 – страница MQTT брокера Mosquitto

Перед запуском брокера необходимо в конфигурации прописать имя пользователя и пароль для доступа к брокеру (рисунок 6.24). Далее через эти параметры будет осуществляться доступ к чтению/записи в топики информации с дополнения Zigbee2MQTT.

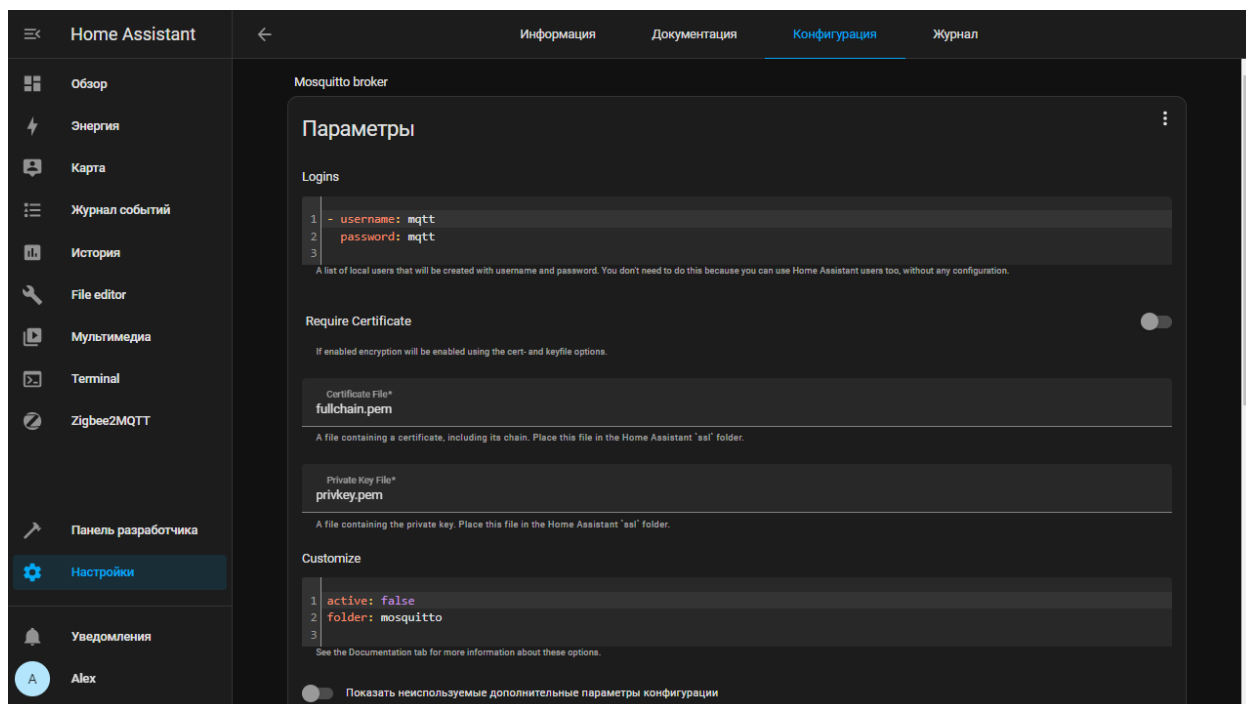


Рисунок 6.24 – настройка конфигурации Mosquitto

После настройки MQTT брокера устанавливается дополнение Zigbee2MQTT для связи между устройствами в сети и брокером (рисунок 6.25). В репозитории сервера создается отдельная папка дополнения с конфигурационными файлами. Для дальнейшей настройки необходимо подключить координатор (см. п. 6.1).

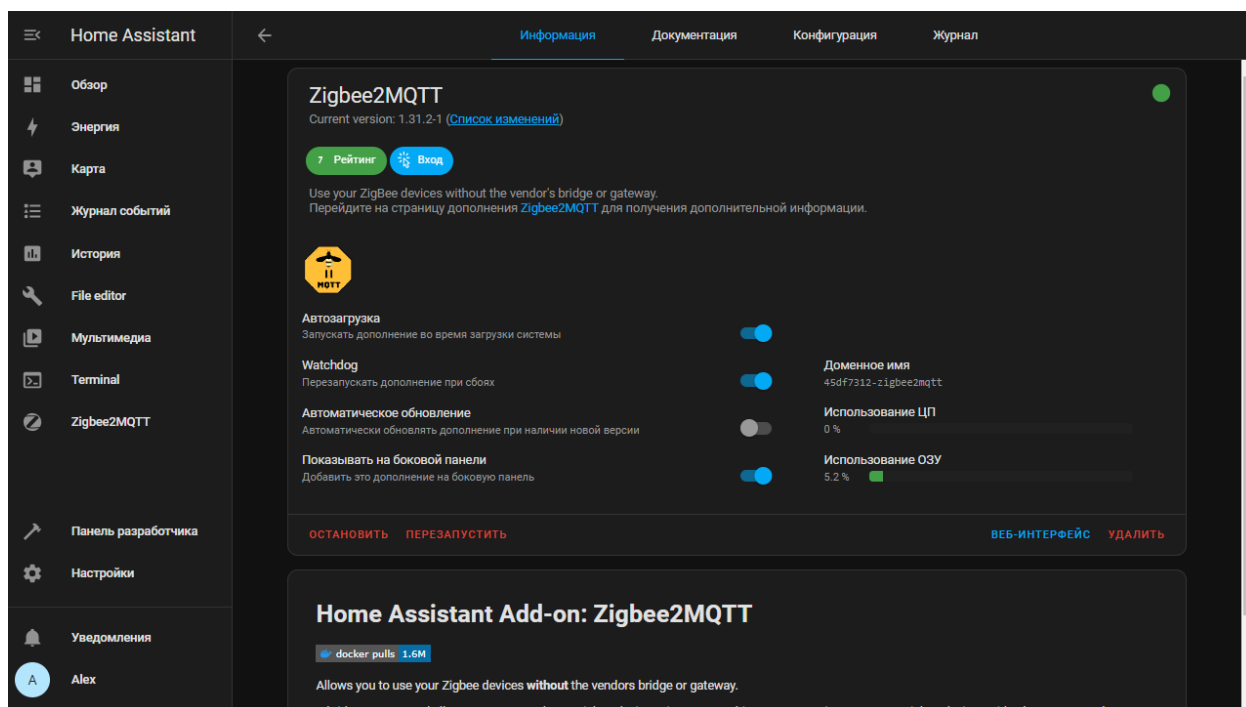


Рисунок 6.25 – страница дополнения Zigbee2MQTT

Для настройки Zigbee2MQTT во вкладке «конфигурация» необходимо прописать имя пользователя и пароль для подключения к брокеру Mosquitto и топик, в который будут записываться данные (рисунок 6.26). Также в параметре serial необходимо прописать путь к координатору сети (ID координатора можно узнать командой `ls -l /dev/serial/by-id/`).



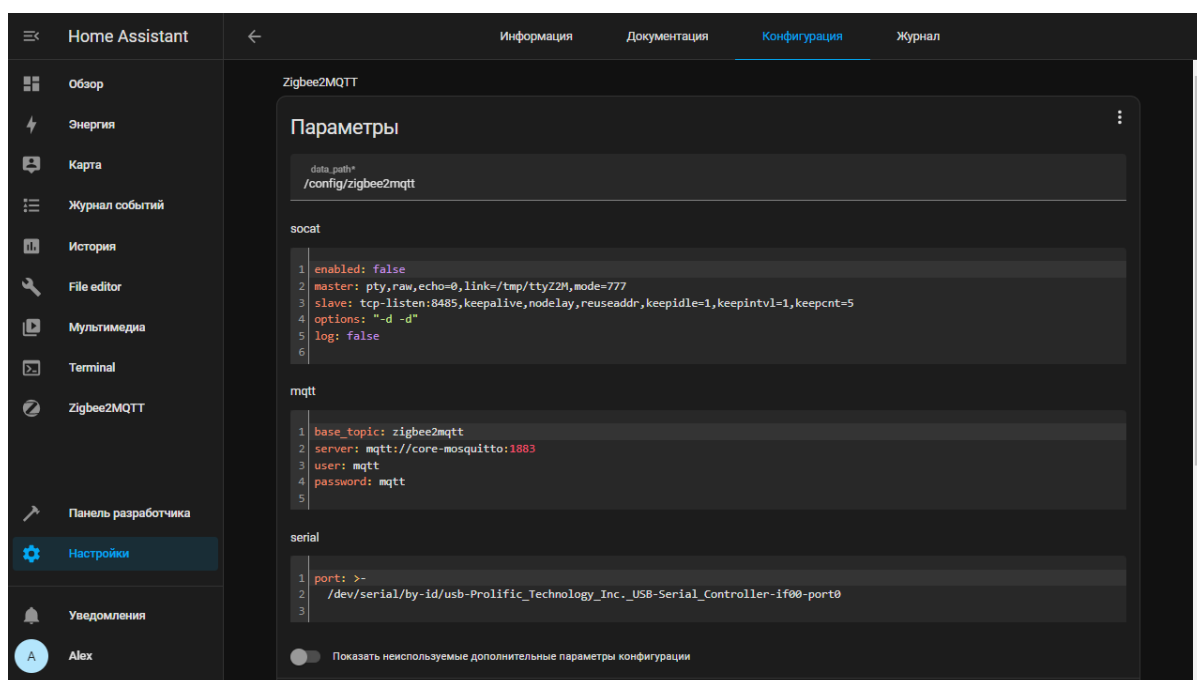


Рисунок 6.26 – настройка конфигурации Zigbee2MQTT

После запуска дополнения можно будет зайти в его графический интерфейс для добавления устройств (рисунок 6.27).

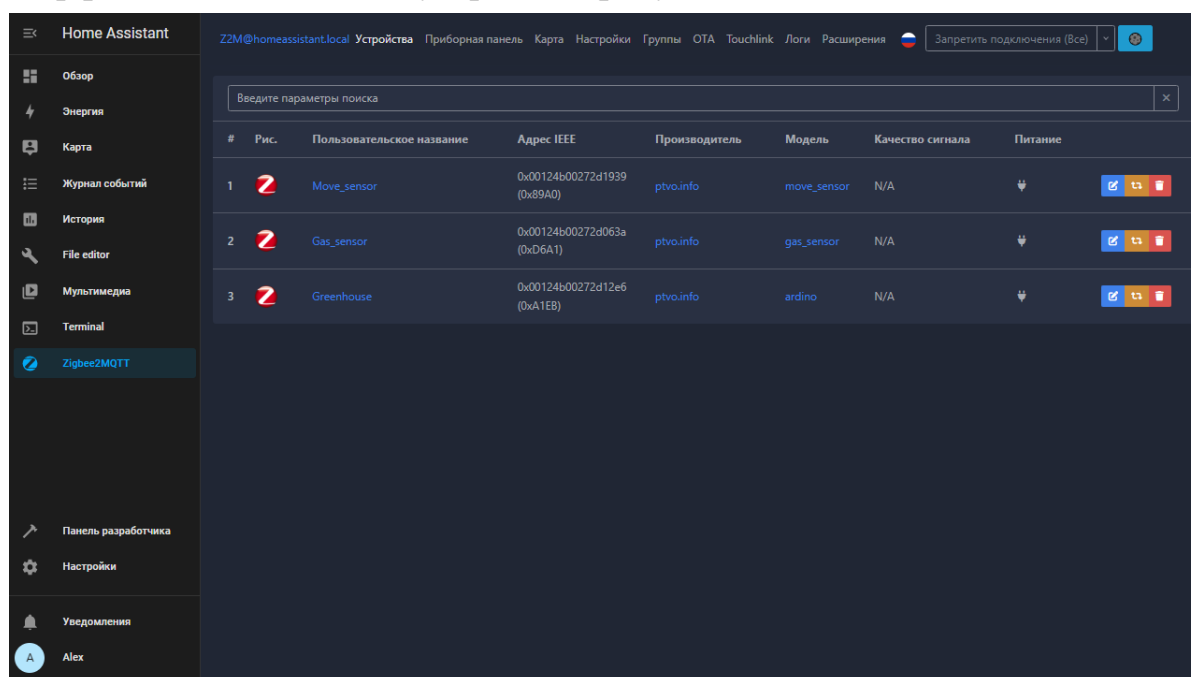


Рисунок 6.27 – графический интерфейс Zigbee2MQTT

Для добавления устройства в конфигурационную папку Zigbee2MQTT необходимо добавить сформированные на этапе прошивки конфигурационные файлы формата .js (см. п. 6.1). Далее во вкладке «Настройки» → «Внешние конвертеры» необходимо прописать названия добавленных файлов (рисунок 6.28). В файле конфигурации прописано

условия сопряжения с устройством. По умолчанию в платах E18MS1 для сопряжения необходимо трижды включить и выключить устройство.

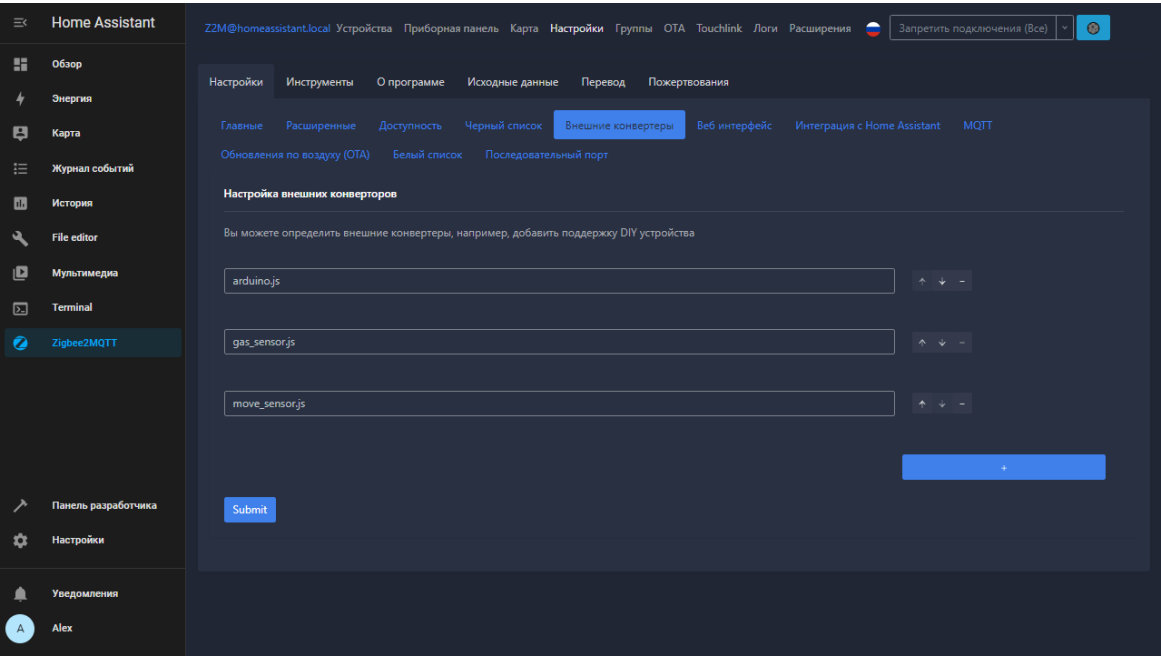


Рисунок 6.28 – вкладка «Внешние конвертеры»

Для добавления устройств во вкладке «Устройства» разрешается подключение устройств. Поиск устройств идет 4 минуты, после этого для подключения новых устройств необходимо перезапускать поиск. На датчиках выполняется условие сопряжения и после этого в поле появляются устройства, доступные для подключения (рисунок 6.29). Здесь можно проверить состояние датчиков, уровень сигнала, питание.

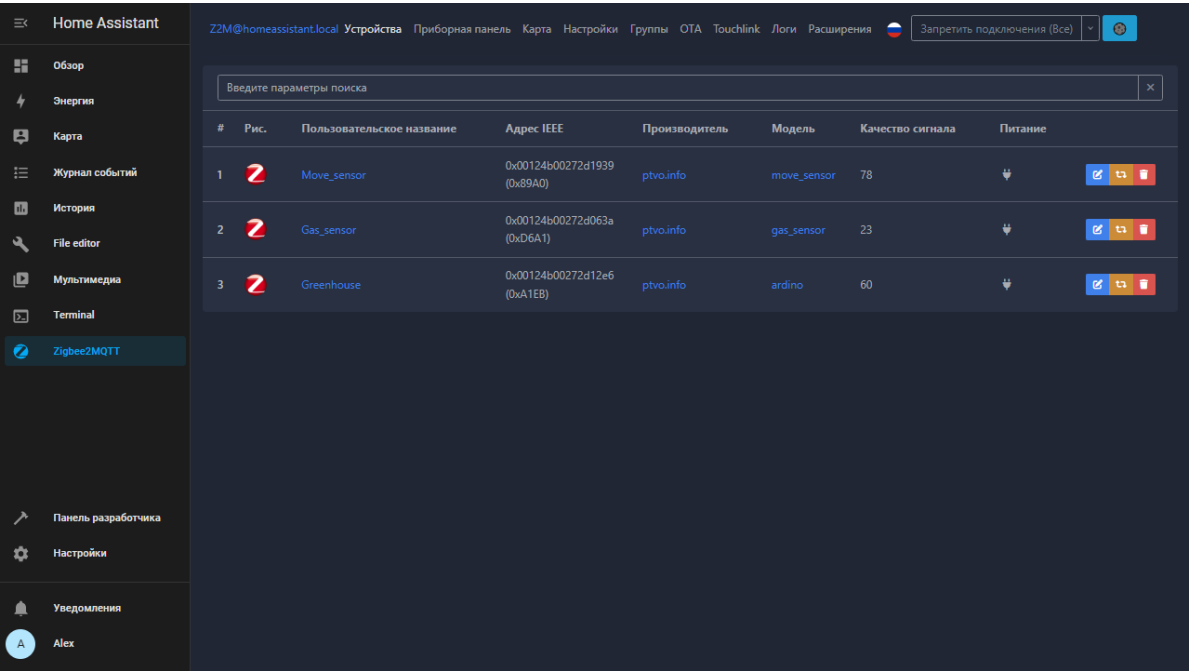


Рисунок 6.29 – вкладка «Устройства» Zigbee2MQTT

Перейдя во вкладку «Карта» можно наблюдать топологию получившейся сети. Как видно из рисунка N топология сети представляет собой MASH-сеть и соответствует рисунку 6.30 пункта 5.5.



Рисунок 6.30 – топология сети

Оборудование и настройка сервера на этом закончена. Для удаленного доступа к серверу необходимо установить приложение Mobile Home Assistant и войти в созданный ранее аккаунт (рисунок 6.31). Теперь на вкладке «обзор» можно следить за состоянием датчиков и управлять актуаторами в системе можно удаленно, не находясь внутри локальной сети.

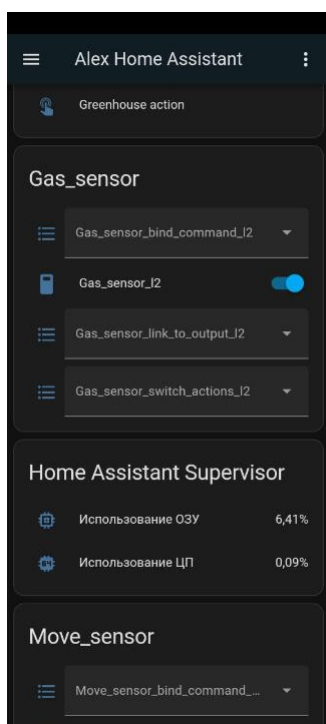


Рисунок 6.31 – интерфейс приложения Mobile Home Assistant

## 7. Экономический расчет составляющих прототипа системы

Составим список затрат на систему без учета расходного материала и инструментов (провода, стеклотекстолит, паяльник, припой и.т.д., см. таблицу 4).

Таблица 4 – Смета компонентов

Компонент	Кол-во, шт.	Цена, Р
Raspberry Pi 4B	1	12000
Arduino UNO	1	360
MQ2	1	90
HC-SR501	1	52
DHT22	1	120
Реле	1	50
BMP180	1	80
Датчик влажности почвы	1	30
E18MS1 x3	3	900
Преобразователь логических уровней	1	90
Конденсатор керамический SMD 4.7 мкФ Y5V 10B 1206	3	75
Конденсатор керамический SMD 0805 X7R 10 мкФ 10B 10%	3	39
Индуктивность SMD 2.2 мкГн 1210	3	75
LM3671MF-3.3/NOPB SOT23-5	3	324
GSMIN PL2303HX USB TTL UART	1	50
Итого		14335

Как видно из таблицы, самым дорогим элементом системы является сервер: Raspberry Pi 4B в совокупности с координатором составляют 86% стоимости системы.

Также можно рассчитать среднюю цену за датчик:  $\approx 750$  рублей.

Ценовая политика выбора была основана на доступности, поэтому большинство компонентов были заказаны из Китая.

## Заключение

В результате работы были рассмотрены периферийные устройства для модульного решения «умная дача». Были рассмотрены несколько вариантов коммутации модулей системы между собой.

При сравнении всех способов коммутации между собой можно сделать следующие выводы:

- 1) Для организации передачи данных на небольшие расстояния выгодно использовать протоколы ESP-MASH и ESP-NOW, так как эти протоколы используют возможность платы ESP8266 передавать данные посредством встроенной в плату антенны.
- 2) Для обмена данными между двумя платами целесообразно использовать протокол ESP-NOW. Если передача данных будет осуществляться между несколькими модулями системы, тогда удобнее всего будет строить MASH сеть, создавая нужную топологию сети для конкретной системы.
- 3) Протокол LoRaWAN подходит для передачи данных на большие расстояния, поэтому в проектах «умного дома» его можно использовать только для объединения модулей близкорасположенных квартир или домов.
- 4) Так же можно сказать, что все рассмотренные протоколы имеют высокий уровень защищенности данных, так как в каждом протоколе перед передачей информации данные шифруются универсальным ключом, что усложняет попытки перехватить данные, или изменить передающийся пакет данных.

Отдельного внимания требует протокол ZigBee. Хотя он и имеет топологию MASH-сети, но имеет существенные отличия. Во-первых, ZigBee-сеть является самоорганизующейся. При назначении ролей всех узлов сеть сама возведет необходимые соединения для более лучшей работы сети. Во-вторых, ZigBee имеет более высокий уровень безопасности, по сравнению с обычной MESH-сетью.

Так же была рассмотрена аналитическая модель системы «умная дача». На примере данной системы была рассмотрена работа протокола ESP-NOW и ZigBee, построен собственный сервер для обработки и хранения данных, а

также был произведен обзор на специализированный сервис для проектов Интернета вещей – Blynk.

Отдельное внимание стоит уделить прототипу системы.

Во-первых, был разработан и собран рабочий прототип системы «Умная дача» с мониторингом основных параметров среды и управлением поливом. Прототип может управляться как в локальной сети так и за ее пределами.

Достоинством прототипа является использование собственного сервера. Имея 86% вес от себестоимости системы, личный сервер позволяет избежать использования сторонних сервисов в сети Интернет. Его ценность обоснована тем, что он обеспечивает стабильность передачи данных, предотвращает утечку данных и дает возможность настройки пользовательского интерфейса.

Во-вторых, можно сравнить систему с другими системами домашней автоматизации на рынке. Самые популярные на данный момент IoT системы – это умный дом от Яндекс и умный дом от Xiaomi. Все три системы работают по протоколу Zigbee. Минимальный анализ рынка показал, что средняя цена за датчик у Яндекс – 1640 рублей, у Xiaomi – 1730 рублей, в то время, когда средняя цена за прототип датчика рассмотренной системы – 750 рублей. Также для систем Яндекс и Xiaomi необходим хаб для координации устройств. В системах Яндекс хабом выступает умная колонка стоимостью 30000 рублей, в системах Xiaomi имеется отдельный хау за 3770 рублей. При сравнении с прототипом система Xiaomi лучше в плане цены за координатор, но при увеличении количества датчиков в системе эта разница нивелируется.

Также существенным преимуществом является пользовательский подбор датчиков и актуаторов. При использовании микроконтроллера Arduino UNO при передаче данных через UART к устройству можно будет подвязать любые Arduino совместимые датчики при минимальных правках в коде микроконтроллера.

Итогом выполнения работы является применение теоретических знаний, полученных при анализе аппаратных и программных реализаций систем Интернета вещей, для создания прототипа системы «Умная дача».

## Список использованных источников

1. Росляков А.В. Р75 Интернет вещей: учебное пособие / А.В. Росляков, С.В. Ваняшин, А.Ю. Гребешков. – Самара: ПГУТИ, 2015. – 200 с. // стр. 5, 7-8, 13-14
2. Петин В.А. Новые возможности Arduino, ESP, Raspberry Pi в проектах IoT – СПб.: БХВ-Петербург, 2022. – 320 с.
3. WeMos D1 R1. Техническое описание – URL: <https://arduinomaster.ru/datchiki-arduino/esp8266-wemos-d1-mini-raspinovka/>
4. Петин В.А. Проекты с использованием контроллера Arduino. – 2-е изд., перераб. и доп. – СПб.: БХВ-Петербург, 2016. – 400 с. // стр. 170-173, 178-193
5. Digital-output relative humidity & temperature sensor/module DHT22. Aosong Electronics. DataSheet – URL: <https://cdn-shop.adafruit.com/datasheets/DHT22.pdf>
6. BMP180 Digital Pressure Sensor. Bosh Sensortec. DataSheet – URL: <https://robot-kit.ru/wa-data/public/blog/download/BST-BMP180.pdf>
7. MQ2 Smoke Sensor (WINSSEN). Manual – URL: <https://www.compel.ru/infosheet/WINSSEN/MQ-2%20Smoke%20Sensor>
8. HC-SR501 PIR MOTION DETECTOR. HK Shan Hai Group Limited. Datasheet – URL: <https://static.chipdip.ru/lib/319/DOC005319544.pdf>
9. Capacitive soil moisture sensor v2.0 DataSheet – URL: <https://static.chipdip.ru/lib/149/DOC007149803.pdf>
10. SONGLE RELAY. RELAY ISO9002 DataSheet – URL: <https://www.circuitbasics.com/wp-content/uploads/2015/11/SRD-05VDC-SL-C-Datasheet.pdf>
11. ESP-MESH. Espressif. Programming Guide – URL: <https://docs.espressif.com/projects/esp-idf/en/stable/esp32/api-guides/mesh.html>
12. LoRaWAN. LoRa Alliance Inc. Specification – URL: [https://loralliance.org/wp-content/uploads/2020/11/lorawan1\\_0\\_2-20161012\\_1398\\_1.pdf](https://loralliance.org/wp-content/uploads/2020/11/lorawan1_0_2-20161012_1398_1.pdf)

13. ESP-NOW.          Espressif.          User          Guide          –          URL:  
[https://www.espressif.com/sites/default/files/documentation/esp-now\\_user\\_guide\\_en.pdf](https://www.espressif.com/sites/default/files/documentation/esp-now_user_guide_en.pdf)
14. ZigBee.          ZigBee          Alliance.          ZigBee          Spetification          –          URL:  
<https://www3.nd.edu/~mhaenggi/ee67011/zigbee.pdf>
15. XBee.          XBee/XBee          PRO          S2C          Zigbee          RF          Module          –          URL:  
<https://www.digi.com/resources/documentation/digidocs/pdfs/90002002.pdf>
16. EBYTE.          E18-MS1-PCB          Specification          –          URL:  
<https://www.ebyte.com/en/product-view-news.aspx?id=122>
17. Raspberry Pi 4B.          Raspberry Pi 4 Model B specifications          –          URL:  
<https://www.raspberrypi.com/products/raspberry-pi-4-model-b/specifications/>



## ПРИЛОЖЕНИЕ А

```
/*
  Прошивка для тепличного блока
*/

// Блок 1: Подключение необходимых библиотек и инициализация подключенных модулей
#include <ESP8266WiFi.h>
#include <espnow.h>
#include <Adafruit_Sensor.h>
#include <math.h>
#include <SFE_BMP180.h>
#include <Wire.h>
#include <DHT.h>

#define DHTPIN1 13 // Подключение DHT22 к пину 3 GPIO0
SFE_BMP180 pressure; // Переменная для датчика BMP180

#define ALTITUDE 151.0 // Высота над уровнем моря в метрах

DHT dht(DHTPIN, DHT22);

#define RELAY_IN 2

#define HUM_SOIL_PIN 3

// MAC-АДРЕС платы, на которую отправляем данные
uint8_t broadcastAddress[] = {0xFF, 0xFF, 0xFF, 0xFF, 0xFF, 0xFF};

// Вводим переменные для хранения отправляемых данных
float temperature;
float humidity;
char status;
double P;
String pressure;
float humidity_soil;

// Вводим переменные для хранения принимаемых данных
float incomingTemp;
float incomingHum;

// Обновляем показания датчика каждые 10 секунд
const long interval = 10000;
unsigned long previousMillis = 0; // Время последнего обновления
```

```

// Переменная для хранения состояния отправки
String success;

// Структура для отправки сообщения другой плате. Должна совпадать со структурой на
плате-приемнике
typedef struct struct_message {
    float temp;
    float hum;
    String pres;
    float hum_soil;
    bool relay_status;
} struct_message;

// Создаем переменную для хранения отправляемого сообщения
struct_message Readings;

// Создаем переменную для для принимаемого сообщения
struct_message incomingReadings;

// Блок 2: Callback-функция для получения состояния отправки
void OnDataSent(uint8_t *mac_addr, uint8_t sendStatus) {
    Serial.print("Last Packet Send Status: ");
    if (sendStatus == 0){
        Serial.println("Delivery success");
    }
    else {
        Serial.println("Delivery fail");
    }
}

// Блок 3: Callback-функция для индикации состояния приема данных
void OnDataRecv(uint8_t * mac, uint8_t *incomingData, uint8_t len) {
    memcpy(&incomingReadings, incomingData, sizeof(incomingReadings));
    incomingTemp = incomingReadings.temp;
    incomingHum = incomingReadings.hum;
    incomingPres = incomingReadings.pres;
    incomingHumSoil = incomingReadings.hum_soil;
    incomingRelayStatus = incomingReadings.relay_status;
}

// Блок 4: Функция снятия показаний с датчиков
void getReadings(){

```

```

temperature = dht.readTemperature();
if (isnan(temperature)){
    Serial.println("Failed to read from DHT");
    temperature = 0.0;
}
humidity = dht.readHumidity();
if (isnan(humidity)){
    Serial.println("Failed to read from DHT");
    humidity = 0.0;
}
status = pressure.startPressure(1);
delay(status);
status = pressure.getPressure(P);
pres = String(P*0.750064);
humidity_soil = analogRead(HUM_SOIL_PIN);
}

// Блок 5: Настройка устройств и подключений
void setup() {
    dht.begin();
    pinMode(RELAY_IN, OUTPUT);

    WiFi.mode(WIFI_STA);
    WiFi.disconnect();

    // Инициализируем протокол ESP-NOW
    if (esp_now_init() != 0) {
        return;
    }

    // Указываем роль платы в сети
    esp_now_set_self_role(ESP_NOW_ROLE_SLAVE);

    // Регистрируем callback-функцию для получения статуса отправки
    esp_now_register_send_cb(OnDataSent);

    // Регистрируем пиры
    esp_now_add_peer(broadcastAddress, ESP_NOW_ROLE_SLAVE, 1, NULL, 0);
    // Регистрируем callback-функцию для получения статуса приема
    esp_now_register_recv_cb(OnDataRecv);
}

void loop() {

```

```

// Блок 6: Формирование сообщения. Прием и передача сообщений
unsigned long currentMillis = millis();
if (currentMillis - previousMillis >= interval) {
    // Сохраняем время последнего обновления показаний
    previousMillis = currentMillis;
    //Запрашиваем показания датчика
    getReadings();
    //Записываем их в переменные
    Readings.temp = temperature;
    Readings.hum = humidity;
    Readings.pres = pressure;
    Readings.hum_soil = humidity_soil;
    if(relay_ststus == true)
        digitalWrite(RELAY_IN, HIGH);
    if(relay_status == false)
        digitalWrite(RELAY_IN, LOW);
    // Отправка сообщения и принятие данных от второй платы
    esp_now_send(broadcastAddress, (uint8_t *) &Readings, sizeof(Readings));
}
}

```

## ПРИЛОЖЕНИЕ Б

```
/*
  Прошивка для блока жилого помещения
*/

// Блок 1: Подключение необходимых библиотек и инициализация подключенных модулей
#define BLYNK_PRINT Serial
// Данные аутентификации для поиска сервисом Blynk данного устройства
#define BLYNK_TEMPLATE_ID "*****"
#define BLYNK_DEVICE_NAME "*****"
#define BLYNK_AUTH_TOKEN "*****"

#include <ESP8266_HardSer.h>
#include <BlynkSimpleShieldEsp8266_HardSer.h>

// Переменные для подключения к сети Wi-Fi
char auth[] = " ";
char ssid[] = " ";
char pass[] = " ";

// // MAC-АДРЕС платы, на которую отправляем данные
uint8_t broadcastAddress[] = {0xFF, 0xFF, 0xFF, 0xFF, 0xFF, 0xFF};

// Вводим переменные для хранения отправляемых данных
float temperature;
float humidity;
char status;
double P;
String presure;
float humidity_soil;

#define MQ2_PIN A0;
float MQ2value;

#define pir_pin 7;
int pirValue;

// Структура для отправки сообщения другой плате. Должна совпадать со структурой на
плате-приемнике
typedef struct struct_message {
    float temp;
    float hum;
    String pres;
```

```

    float hum_soil;
    bool relay_status;
} struct_message;

// Создаем переменную для хранения отправляемого сообщения
struct_message Readings;

// Блок 2: Функция обратного вызова, которая будет выполнена при получении данных
void OnDataRecv(uint8_t * mac, uint8_t *incomingData, uint8_t len) {
    memcpy(&Readings, incomingData, sizeof(Readings));
}

// Блок 3: Настройка устройств и подключений
void setup()
{
    WiFi.mode(WIFI_AP_STA);

    // Инициализация подключения к сервису Blynk
    Blynk.begin(auth, ssid, pass);

    // Инициализация протокола ESP-NOW
    if (esp_now_init() != 0) {
        return;
    }

    // Установка роли платы в протоколе ESP-NOW
    esp_now_set_self_role(ESP_NOW_ROLE_CONTROL);
    esp_now_register_recv_cb(OnDataRecv);

    // Попытка подключиться к серверу
    resultConnection = Blynk.connect();

    // Указание получателя сообщения
    esp_now_peer_info_t peerInfo;
    memcpy(peerInfo.peer_addr, broadcastAddress, 6);
    peerInfo.channel = 0;
    peerInfo.encrypt = false;
    if (esp_now_add_peer(&peerInfo) != ESP_OK) {
        return;
    }
}

void loop()

```

```

{
    // Блок 4: Считывание данных с датчиков, подключенных к плате
    MQ2value = analogRead(MQ2_PIN);
    pirValue = analogRead(pir_pin);

    // Блок 5: Запуск обмена данных с сервисом Blynk при успешном подключении к сервису
    if(resultConnection) Blynk.run();

    // Блок 6: Указание данных для отправки на другую плату
    Readings.temp = temperature;
    Readings.hum = humidity;
    Readings.pres = pressure;
    Readings.hum_soil = humidity_soil;

    // Отправка сообщения и принятие данных от второй платы
    esp_err_t result = esp_now_send(broadcastAddress, (uint8_t *) &Readings,
sizeof(Readings));

    sendData();
}

// Блок 7: Отправка полученных данных на сервис
void sendData()
{
    Blynk.virtualWrite(V5, temperature);
    Blynk.virtualWrite(V6, humidity);
    Blynk.virtualWrite(V7, pressure);
    Blynk.virtualWrite(V8, humidity_soil);
    Blynk.virtualWrite(V9, MQ2value);
    Blynk.virtualWrite(V10, pirValue);
}

// Блок 8: Вызов функции при обновлении виртуального порта V0
BLYNK_WRITE(V0)
{
    // Считываем новое значение порта
    relay_status = param.asInt();
}

```

## ПРИЛОЖЕНИЕ В

```
// Блок 1: Подключение необходимых библиотек и инициализация подключенных модулей
#include <SoftwareSerial.h>
#include <math.h>
#include <SFE_BMP180.h>
#include <Wire.h>
#include <DHT.h>

SoftwareSerial E18_MS1PA2_PCB(0,1);

#define CAP_HUM A5; // Подключение датчика влажности почвы к пину A5
#define DHTPIN 7 // Подключение DHT22 к пину 7
#define relay_pin 8 // Подключение реле к пину 8
SFE_BMP180 pressure; // Переменная для датчика BMP180

#define ALTITUDE 151.0 // Высота над уровнем моря в метрах

DHT dht(DHTPIN, DHT22); //Инициация датчиков

float h;
float t;
char status;
double T,P;
float h1;
bool relay_status = false;

// Блок 2: Настройка устройств и подключений
void setup()
{
    Serial.begin(9600);
    E18_MS1PA2_PCB.begin(9600);
    dht.begin(); // Инициализируем DHT22

    if (pressure.begin())
    {
        // Проверка на подключение BMP180
        Serial.print("BMP180 ok");
    }
    else
    {
        Serial.print("BMP180 fail");
        delay(2000);
    }
}
```



```

    while(1); // Бесконечный цикл. Если есть сообщение об ошибке, нужно проверить
    подключение BMP180 и перезапустить плату (выключить и включить питание)
}
}

void loop()
{
    // Блок 3: Снятие показаний с датчиков
    String analogValue0;
    String analogValue1;
    h = dht.readHumidity(); //Измеряем влажность
    t = dht.readTemperature(); //Измеряем температуру
    if (isnan(h) || isnan(t)) { // Проверка. Если не удастся считать показания,
выводится «Ошибка считывания», и программа завершает работу
        Serial.println("Ошибка считывания");
        return;
    }
    status = pressure.startTemperature(); // Старт измерения температуры
    delay(status);
    status = pressure.getTemperature(T);

    analogValue0 = String(T,DEC);
    // Определяем атм. давление:
    status = pressure.startPressure(1);
    delay(status);
    status = pressure.getPressure(P,T);

    analogValue1 = String(P*0.750064);

    h1 = analogRead(A5);

    // Запись данных в переменные String
    String analogValue2 = String(t,DEC);
    String analogValue3 = String(h);
    String analogValue4 = String(h1);

    // Блок 4: Отправка данных
    if(E18_MS1PA2_PCB.connected())
    {
        E18_MS1PA2_PCB.write("&field4="+analogValue3+"&field5="+analogValue4+
+"&field1="+analogValue0+"&field2="+analogValue1+"&field3="+analogValue2);
        Serial.println(analogValue0);
        Serial.println(analogValue1);
    }
}

```

```
Serial.println(analogValue2);
Serial.println(analogValue3);
Serial.println(analogValue4);
Serial.println(analogValue5);
}
// Блок 5: Управление реле
if(SerialRead(relay_status) == true)
{
    digitalWrite(relay_pin, HIGH);
} else {
    digitalWrite(relay_pin, LOW);
}
```